



République Algérienne Démocratique et Populaire  
Ministère de l'enseignement supérieur et de la recherche  
scientifique

**Université Mohamed Khider - BISKRA**

Faculté des Sciences Exactes et des Sciences de la Nature et de la

vie  
**Département d'informatique**

GLSD/M2/2020

## **Mémoire fin d'étude**

Présenté pour obtenir le diplôme de Master académique en

Option : **Génie Logiciel et Système Distribué**

---

# **Implémentation parallèle d'une technique d'analyse en arrière de marquages accessibles dans les RDPs**

---

Par :  
**SAHRAOUI Rihab**

Encadré par :  
**BENNOUI Hammadi**

Année universitaire : 2019/2020

## Remerciements

*En premier lieu, je dois remercier Dieu le tout puissant qui m'a donné le courage et la force pour réaliser ce travail*

Je remercie fortement mon encadreur : **M.Bennoui Hammadi** de m'avoir orienté par ses conseils dans le but de mener à bien ce travail.

Je tiens également à exprimer ma gratitude aux membres du jury pour la lecture et l'évaluation de mon travail.

Je n'oublie jamais de remercier tous mes professeurs au département d'informatique qui m'ont enseigné les principes de base de l'informatique.

Mon derniers remerciements, mais non des moindres, je voudrais remercier ma famille et mes amis pour tout leur soutien et leur compréhension durant cette année de mes études.

Et en fin, je remercie tous ceux qui ont contribué de loin ou de près à réalisation de ce travail.

## Résumé

L'analyse B-W est une technique particulière de résolution de problèmes de diagnostic. Elle est basée sur les BPNs, qui sont destinés à représenter le comportement causal du système à diagnostiquer. Le principe de cette technique utilise deux types de jetons ; jeton normal noir représente la satisfaction de la condition associée à une place marquée et jeton inhibé représente la non-satisfaction de la condition. Une parallélisation de l'analyse B-W à été est proposée. Une telle parallélisation est basée sur un ensemble de processus dérivés de la structure du modèle BPN.

*Mots clés : Analyse B-W, BPN, Processus, Parallélisme.*

## Résumé

B-W analysis is a diagnostic problem solving technique, defined for BPN, intended to represent the causal behavior of the system to be diagnosed. The principle of this technique uses two types of tokens; black normal token represents satisfaction of the condition associated with a marked place and inhibitor token represents non-satisfaction of the condition. A distributed approach for parallel B-W analysis has been proposed. This approach is based on a set of processes derived from the structure of the BPN model.

*Key words : B-W analysis, BPN, process, Parallel*

# Table des matières

<b>Contents</b>	<b>ii</b>
<b>Introduction générale</b>	<b>vii</b>
<b>I ETAT DE L'ART</b>	<b>1</b>
<b>1 Diagnostic basé modèle</b>	<b>2</b>
Introduction . . . . .	2
1.1 Notions préliminaires . . . . .	2
1.1.1 Description de système . . . . .	2
1.1.2 Observation . . . . .	3
1.1.3 Diagnostic . . . . .	3
1.2 Le modèle comportemental . . . . .	3
1.3 Approches basées-modèle . . . . .	4
1.3.1 Approche basée consistance . . . . .	5
1.3.2 Approche basée abduction . . . . .	6
1.3.3 Approche d'intégration . . . . .	6
1.4 Problème de diagnostic . . . . .	6
1.5 Résolution d'un problème de diagnostic . . . . .	7
1.6 Conclusion . . . . .	7
<b>2 Une technique d'analyse basée sur les BPNs pour la résolution de problème de diagnostic</b>	<b>9</b>
Introduction . . . . .	9
2.1 Réseaux de Petri comportementaux (BPNs) . . . . .	9
2.1.1 Modèles causaux . . . . .	9
2.1.2 Réseaux de Petri : notions de base . . . . .	10
2.1.3 Réseaux de Petri comportementaux (BPNs) . . . . .	11
2.1.3.1 Représentation d'un model causal par un BPN . . . . .	12
2.1.3.2 Exemple d'illustration . . . . .	12
2.2 Analyse B-W . . . . .	13
2.2.1 Discussion informelle . . . . .	13
2.2.2 Principe et cadre d'utilisation . . . . .	14
2.3 Application de la technique B-W pour la résolution de problèmes de diagnostic . . . . .	17
2.3.1 Exemple . . . . .	18
2.4 Exploitation de parallélisme dans l'analyse en arrière . . . . .	19
2.4.1 Partitionnement de réseau (BPN) . . . . .	19
2.4.2 Dérivation de processus . . . . .	21
2.4.3 Plusieurs solutions et vérification des incohérences . . . . .	23
2.4.4 Exemple . . . . .	24

2.5 Conclusion . . . . .	26
Conclusion . . . . .	26

## II IMPLEMENTATION 28

<b>3 Développement d'un outil de dérivation de processus parallèle pour l'exploitation d'analyse B-W</b>	<b>30</b>
Introduction . . . . .	30
3.1 Analyse de besoins . . . . .	30
3.2 Conception globale . . . . .	30
3.2.1 Module de modélisation . . . . .	31
3.2.2 Module de partitionnement des transitions . . . . .	31
3.2.3 Module de dérivation de processus . . . . .	31
3.3 Conception détaillée . . . . .	31
3.3.1 Structure de données . . . . .	31
3.3.1.1 Modélisation . . . . .	31
3.3.1.2 Partitionnement des transitions . . . . .	34
3.3.1.3 Dérivation de processus . . . . .	34
3.3.2 Algorithmes . . . . .	35
3.3.2.1 Module de modélisation . . . . .	35
3.3.2.2 Module de Partitionnement des transitions . . . . .	35
3.3.2.3 Module de dérivation de processus . . . . .	36
3.4 Implémentation . . . . .	37
3.4.1 Outils et langage de développement . . . . .	37
3.4.1.1 Langage de programmation python . . . . .	38
3.4.1.2 Editeur de programmation Pycharm . . . . .	38
3.4.1.3 Package "Tkinter" . . . . .	38
3.4.1.4 Package "multiprocessing" . . . . .	38
3.4.1.5 Système de préparation de documents L <sup>A</sup> T <sub>E</sub> X . . . . .	38
3.4.1.6 Editeur T <sub>E</sub> X MAKER . . . . .	39
3.4.2 Implémentation . . . . .	39
3.4.2.1 Application d'accueil . . . . .	39
Conclusion . . . . .	44

<b>Conclusion générale</b>	<b>x</b>
----------------------------	----------

# Liste des tableaux

3.1	versions Software/Hardware . . . . .	39
-----	--------------------------------------	----

# Table des figures

1.1	Interaction entre l'observation et le comportement attendu. . . . .	3
2.1	la sémantique de la transition OR. . . . .	11
2.2	Exemple d'un BPN représentant le comportement anormal d'un moteur d'une voiture . . . . .	13
2.3	les règles de franchissement en arrière d'un BPN . . . . .	16
2.4	graphe de raisonnement en arrière pour l'analyse B-W . . . . .	17
2.5	un exemple d'application de la technique de partitionnement . . . . .	21
2.6	activités associées aux classes de transition . . . . .	22
2.7	structure d'interaction des processus correspondant au TGS dans a figure 2.5	25
3.1	Architecture générale d'interaction entre les modules du système. . . . .	31
3.2	Diagramme de classe. . . . .	33
3.3	Extrait d'un fichier XML. . . . .	34
3.4	Application d'accueil. . . . .	39
3.5	Menue fichier. . . . .	40
3.6	Barre d'outils. . . . .	40
3.7	Ajouter marquage. . . . .	41
3.8	Objet place . . . . .	41
3.9	Exemple d'un modèle BPN . . . . .	41
3.10	Résultat d'algorithme transition de départ . . . . .	42
3.11	Résultat d'algorithme relation binaire . . . . .	42
3.12	Sous-ensemble générés par transition 1 . . . . .	42
3.13	Sous-ensemble générés par transition 2 . . . . .	43
3.14	Résultat d'algorithme observation . . . . .	43
3.15	La liste input-var . . . . .	44
3.16	Exécution de processus . . . . .	44



# List of Algorithms

1	Algorithme de suppression d'une place . . . . .	35
2	Algorithme transitions de départ . . . . .	35
3	Algorithme relation binaire . . . . .	35
4	Algorithme sous-ensembles de transition . . . . .	36
5	Algorithme d'état de simplification . . . . .	36
6	Algorithme OBS . . . . .	36
7	Algorithme Règles de franchissement . . . . .	37
8	Algorithme dérivation de processus . . . . .	37

# Introduction générale

# Introduction générale

Le problème de diagnostic de fautes (ou des pannes) dans les systèmes technologiques a reçu une attention particulière depuis plus de trois décennies à raison de l'importance de sécurité et d'efficacité de fonctionnement.

Une variété d'approches ont été proposées dans la littérature d'I.A, chacune est basée sur un niveau de détail choisi pour le modèle du système et les genres des fautes qui nécessitent d'être diagnostiqués. Pour utiliser ces approches, nous devons représenter la structure et/ou le comportement du système à diagnostiquer. Lorsqu'un comportement anormal du système est observé, la tâche de diagnostic consiste à localiser les sources des pannes responsables du mal fonctionnement observé.

En fait, un diagnostic est défini comme un ensemble d'hypothèses (suppositions) sur la présence de certaines pannes qui peuvent expliquer le dysfonctionnement observé. Généralement, il y a deux notions logiques d'explication proposées dans la littérature :

- Approche basée consistance : ce type d'approche est utilisée dans le cas où le modèle représente le comportement normal du système à diagnostiquer. Elle désigne l'ensemble des suppositions qui gardent la consistance avec les observations.
- Approche basée abduction : cette approche est utilisée lorsque on a un modèle de comportement anormal du système à diagnostiquer. La conjonction des hypothèses avec le modèle doivent prédire l'observation.

Dans notre étude, nous nous focalisons aux approches utilisant un modèle décrivant le système dans le cas de mal fonctionnement. Avec ce genre d'approches, les dépendances entre les pannes et les manifestations (ou observations) sont décrites dans le modèle comportemental. Ces dépendances décrivent les relations de causalités entre les différentes entités du modèle. De nombreux formalismes ont été proposés pour représenter les modèles causaux, tels que les formalismes logiques, les réseaux de Petri (RDP).

Dans notre travail, on s'intéresse à une classe particulière de RDP appelée BPN (Behavioral Petri net) qui a été proposée dans [Por93] pour représenter le modèle. Le processus de résolution exploite une analyse en arrière de marquages accessibles (BW-Analysis : BackWard Analysis) du modèle BPN en question. Le principe de cette technique est d'utiliser deux types de jetons, jeton normal (noir, noté  $b$ ) et un jeton inhibé (blanc, noté  $w$ ) visant à modéliser la vérité ou la fausseté de la condition associée à une place.

L'une des particularités de l'analyse BW est son adéquation à une implémentation parallèle. Ce travail présente une approche parallèle pour l'analyse B-W dans laquelle un ensemble de processus est dérivé à partir de la structure du modèle BPN.

Ce mémoire est structuré en trois chapitres. Les deux premiers constituent la partie état de l'art et le dernier concentre sur l'implémentation parallèle de l'analyse B-W.

**Première partie**  
**ETAT DE L'ART**

# **Chapitre 1**

## **Diagnostic basé modèle**

# Chapitre 1

## Diagnostic basé modèle

### Introduction

La surveillance d'un système a but de traiter tous les comportements qui s'écartent du comportement attendu. Les principaux éléments d'un système de surveillance sont la détection, la localisation, le diagnostic et le traitement d'erreurs [VK94].

Le diagnostic est l'élément le plus important dans le système de surveillance, il consiste à localiser la cause de mal fonctionnement du système.

La littérature d'intelligence artificielle (I.A) fait état de deux familles d'approches permettant de résoudre un problème de diagnostic :

- Approches basées sur un modèle : ces approches sont utilisées dans le cas où il est possible de fournir un modèle qui décrit le fonctionnement normal et/ou anormal du système à diagnostiquer.[DMR92]
- Approches basées sur les heuristiques : ces approches sont basées sur les expériences et les intuitions des opérateurs considérés comme experts du domaine, a cause de l'impossibilité de traduire toutes les informations de fonctionnement du système sous forme d'un modèle.[DMR92]

Dans notre travail, nous nous focalisons sur les approches basées modèles, au début nous présentons des notions préliminaires concernant un problème de diagnostic basé-modèle. Dans la section trois nous donnerons une définition du modèle comportemental, et pour résoudre un problème de diagnostic, trois approches importantes seront montrés dans la section quatre. Dans les sections 5 et 6 nous présentons la définition du problème de diagnostic et sa résolution, finalement la section 7 conclut le chapitre.

## 1.1 Notions préliminaires

### 1.1.1 Description de système

La description d'un système est conçue pour formaliser d'une manière abstraite le concept d'un composant et le concept d'une collection de composants en interaction. Pour la représentation des connaissances, on utilise la logique du premier ordre. La définition suivante introduire par Reiter en [Rei87] présente cette notion.

**Definition [Bla+06]** : La description d'un système  $S$  est un pair :  $\langle BM, COMPS \rangle$  où :

- $BM$  est le modèle comportemental, il est formé de formules de premier ordre représentant les connaissances autour de  $S$ .
- $COMPS$  un ensemble de constantes représentant les composants du système.[SLA04]

Le modèle comportemental  $BM$  utilise un prédicat  $AB(.)$  qui est interprété comme "anormal". L'argument d'un tel prédicat appartient nécessairement au  $COMPS$ .

### 1.1.2 Observation

Le processus de diagnostic est basé sur l'utilisation d'un ensemble d'observations afin de détecter les pannes du système. L'absence de ces observations provoque la non possibilité de détecter aucune panne.

**Definition [CT90]** : Une observation  $OBS$  d'un système  $S$  est un ensemble fini de formules de premier ordre qui définit les entrées  $I$  (input) et les sorties  $O$  (output) de  $S$  [Rei87].

### 1.1.3 Diagnostic

Supposons qu'un système  $S = \langle BM, \{c_1, \dots, c_n\} \rangle$  est dans un état de mal fonctionnement, et soit  $OBS$  une observation sur  $S$  qui est en conflit avec le comportement normal de  $S$ . La préparation de  $S$  passe nécessairement par une étape de diagnostic afin d'expliquer le dysfonctionnement observé.

Le rôle principale d'un processus de diagnostic est de spécifier l'ensemble de composants qui lorsqu'ils sont supposés en panne vont expliquer l'observation. La figure suivante montre que le diagnostic basé modèle est fondé sur l'interaction entre les observations si les prédictions obtenues à partir de la description du système [16; Rei87].

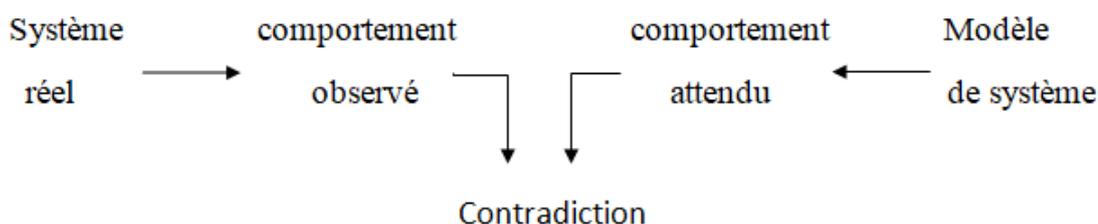


FIGURE 1.1 – Interaction entre l'observation et le comportement attendu.

## 1.2 Le modèle comportemental

L'approche de diagnostic basé modèle a besoin d'un modèle descriptif du système à diagnostiquer pour représenter le comportement normal ou/et anormal et des hypothèses permettant d'expliquer les observations. L'ensemble des comportements normaux et anormaux du système doit être représenté d'une manière uniforme[CT91].

Dans cette approche, chaque composant de  $COMPS = \{c_1, \dots, c_n\}$  est caractérisé par un ensemble de modes comportementaux  $\{correct, fault_{i1}, \dots, fault_{im}\}$  où

correct correspond au comportement correct du composant, et  $fault_{ij}$  correspond aux divers comportements anomaux de tel composant.

Parmi les différents modèles permettant la modélisation de comportement du système, il y a les modèles causaux qui sont utilisés pour décrire les évolutions du système depuis un état vers un autre [CT90]. Les modèles causaux utilisent un langage logique basé sur les clauses de **HORN**.

Chaque clause a la forme suivante :  $A_1 \wedge \dots \wedge A_n \rightarrow B$  où :

- $\wedge$  est le symbole de conjonction,
- $\rightarrow$  est le symbole d'implication,
- $A_1 \wedge \dots \wedge A_n$  est le corps de la clause (peut être vide),
- $B$  est la tête de la clause.

L'ensemble de ces clauses est appelé un programme logique. Chaque élément de la clause est représenté sous forme d'un prédicat, et l'ensemble de prédicats d'un modèle comportemental représenté par ces clauses est reparti en deux sous-ensembles [CT91] :

- *Symboles abducibles* Correspondent aux modes comportementaux des composants de  $S$  et ne peuvent jamais apparaître dans la tête d'une clause dans **BM**.
- *Symboles non abducibles* Correspondent aux conditions contextuelles qui apparaissent seulement dans le corps d'une clause.

Un exemple simple considère le problème de modélisation du comportement d'un circuit digital contenant les portes logique **AND** [CT91 ; Ham91]. On peut distinguer trois modes comportementaux d'une porte **AND** {correct, stuck-at-0, stuck-at-1}.

La description du modèle comportemental de ce circuit est [Ham91] :

- $And - gate(X) \wedge correct(X) \wedge inp1(X, X1) \wedge inp2(X, X2) \rightarrow out(X, fand(X1, X2))$ .
- $And - gate(X) \wedge stuckat0(X) \rightarrow out(X, 0)$
- $And - gate(X) \wedge stuckat1(X) \rightarrow out(X, 1)$

Où :

$fand(X1, X2)$  est le **AND** logique de  $X1$  et  $X2$ . On note que {correct, stuck-at-0, stuck-at-1} est l'ensemble de symboles abducibles dans ce modèle ; les conditions qui apparaissent seulement dans le corps d'une clause dans **BM** (par exemple :  $inp1, inp2$  ) sont des symboles non abducibles.

### 1.3 Approches basées-modèle

Le diagnostic est basé sur un ensemble d'hypothèses sur la présence de certaines pannes qui peuvent expliquer l'observation en utilisant un modèle.

En générale, il y a différentes formalisations de cette notion de raisonnement qu'ont été proposées dans la littérature [CT91 ; Ham12] :

- *Approche basée consistance* : désigne l'ensemble des suppositions qui gardent la consistance avec les observations ( c.à.d ; si une valeur d'un paramètre est observée, alors le diagnostic ne doit pas prédire une valeur différente de la valeur observée sur le même paramètre). Autrement dit, cette approche est utilisée si le modèle représente le comportement normal du système [SLA04].
- *Approche basée abduction* : Les hypothèses en conjonction avec le modèle doivent prédire l'observation. Autrement dit, elle est utilisée si le modèle représente le comportement anormal du système [SLA04].



### 1.3.1 Approche basée consistance

Elle est utilisée lorsque le modèle est une représentation du comportement correct du système à diagnostiquer. Dans cette approche, le modèle comportemental est construit selon la méthodologie suivante :

1. Pour chaque composant  $c$  de **COMPS**, qui à la possibilité d'être en panne, on a l'hypothèse  $\neg AB(c)$ .
2. La description du fonctionnement normal du système sous forme des implications en se basant sur l'hypothèse que tous les composants fonctionnent correctement.

On suppose que  $S = (\mathbf{BM}, \mathbf{COMPS})$  est le système à diagnostiquer et  $O(I)$  est la sortie attendu.

Ceci formalisé ainsi par :

$$BM \cup I \cup \{\neg AB(c) \mid c \in COMPS\} \vdash O(I).$$

Où :

- **BM** : le modèle comportemental,
- **I** : les entrées,
- **O** : les sorties,
- $\vdash$  : signifie la derivation.

Supposons qu'il y a une contradiction entre **O** la sortie observée, et  $O(I)$ , on peut conclure que le système a mal fonctionné. Ceci donne l'implication suivante :

$$BM \cup I \cup \{\neg AB(c) \mid c \in COMPS\} \vdash (O(I) \Rightarrow \neg O).$$

Alors, intuitivement, on a :

$$BM \cup I \cup \{\neg AB(c) \mid c \in COMPS\} \text{ est inconsistante.}$$

L'objectif du diagnostic basé consistance est de rendre la consistance à la formule précédente via la supposition que le comportement de certains composants est anormal.

#### – Critères de préférence

Dans ce paragraphe, on présente deux critères utilisés dans l'approche basée consistance pour raffiner l'ensemble des diagnostics [Ham12].

##### 1. Maximisation du nombre de composants décrits

Parmi les diagnostics possibles (noté  $\Delta$ ), on prend ceux qui comportent un nombre maximal de composants. Dans la plupart des cas, l'incomplétude des connaissances provoque la non possibilité d'obtenir des diagnostics complets, donc il sera nécessaire d'ajouter des hypothèses additionnelles pour rendre l'ensemble de diagnostics complet.

##### 2. Minimisation de l'ensemble de composants anormaux

Parmi les diagnostics complets possibles, on préfère ceux qui incluent un nombre minimal de composants anormaux.

### 1.3.2 Approche basée abduction

Le diagnostic basé abduction est proposé initialement pour un modèle qui représente le comportement anormal du système sous forme de relation Cause-Effet. La méthodologie suivie dans cette approche est [SLA04] :

- Les hypothèses possibles sont les pannes initiales
- La description du système décrit les relations de causalité entre les manifestations et les causes initiales sous forme d'implications.

Puisque le comportement correct du système à diagnostiquer n'est pas modélisé, les sorties attendues ne peuvent pas prédites. Donc, il est impossible de détecter une contradiction entre les sorties observées et celles attendues.

Contrairement au diagnostic basé consistance, il n'y a aucune inconsistance à expliquer :

$$\mathbf{BM} \cup \mathbf{OBS} \cup \{\neg AB(c)\} \text{ est toujours consistante.}$$

Soit  $CO$  une combinaison des sorties à expliquer. Le diagnostic abductif pour  $CO$  est l'ensemble  $\Delta$  tel que :

- $\mathbf{BM} \cup \mathbf{I} \cup \Delta \vdash CO$  et
- $\mathbf{BM} \cup \mathbf{I} \cup \Delta$  est consistante tel que  $CO \subseteq O$ .
- **Critères de préférence**

#### 1. Maximisation des sorties

Parmi l'ensemble de diagnostics, sélectionner celui qui explique un nombre maximal des points observables. La confidentialité de cette approche est augmentée avec le nombre des points observables expliqués.

#### 2. Minimisation des composants anormaux

Parmi l'ensemble de diagnostics, on préfère ceux qui incluent un nombre minimal des composants anormaux.

### 1.3.3 Approche d'intégration

Cette approche est une combinaison des deux type de raisonnement basé consistance et basé abductive, cette combinaison peut être vue comme [CT91] :

- Extension des approches basées abduction pour supporter les modèles de comportement correct.
- Extension des approches basées consistance pour supporter les modèles de comportement anormal.

## 1.4 Problème de diagnostic

Dans [CT91], les auteurs analysent en détail la notion d'un problème de diagnostic, il se caractérise par différents types de données : les données contextuelles et les observations. En particulier, une majeure distinction existe entre les données contextuelles et les observations. Les données contextuelles sont un ensemble de paramètres qui offrent des informations sur le cas sous examen.

Par exemple, l'âge et le sexe d'un patient (diagnostic médical), les entrées dans d'autres applications. Ces données sont très importantes puisque elles offrent au diagnosticien la possibilité de faire des prédictions sur le comportement du système à diagnostiquer (en effet, un patient est un homme, permet au physicien d'exclure certaines pathologies et de se concentrer sur d'autres pathologies [17; Rei87])

Les données correspondant aux observations jouent un rôle totalement différent dans le

processus de diagnostic.

Un problème de diagnostic est défini ainsi :

**Definition [SLA04] :** Un problème de diagnostic **DP** d'un modèle comportemental est un triple :  $DP = \langle (BM, COMPS), CXT, OBS \rangle$  où :

- $(BM, COMPS)$  : est la description du système
- $CXT$  : sont les données contextuelles
- $OBS$  : est l'ensemble d'observation à expliquer (manifestations)

## 1.5 Résolution d'un problème de diagnostic

Comme nous avons vu dans la section précédente, un diagnostic peut être caractérisé comme un générateur d'explications pour un ensemble d'observations (symptômes). Dans la littérature, il existe deux notions logiques pour le terme explication [CT91] :

- Explication par consistance : dans un tel cas, un diagnostic explique une observation  $m$  si elle ne contredit pas  $m$
- Explication par abduction : dans un tel cas, un diagnostic explique une observation  $m$  si elle supporte directement  $m$

La définition suivante proposée dans [CT91] est basée sur la reformulation d'un problème de diagnostic comme un problème d'abduction avec des contraintes de cohérence.

**Definition [Por93] :** Etant donné un problème de diagnostic  $DP = \langle (BM, COMPS), CXT, OBS \rangle$  Le problème d'abduction correspondant à  $DP$  est défini comme :

$AP = \langle (BM, COMPS), CXT, (\psi^+, \psi^-) \rangle$  où :

- $\psi^+ \subseteq OBS$
- $\psi^- = \{(\neg f(x) \mid f(y) \in OBS, \text{ pour chaque valeur admissible } x \text{ de } f \text{ différente de } y)\}$

$\psi^+$  est l'ensemble d'observations qui doivent être prédites par une solution.  $\psi^-$  est l'ensemble d'observations négatives (l'ensemble des valeurs qui sont en conflit avec les observations), on note que  $\psi^-$  peut être infini.

**Definition [Rei87] :** Soit  $(BM, COMPS)$  une description d'un système. L'assignation  $W$  pour  $COMPS$  est l'ensemble des symboles abducibles tel que pour chaque composant  $c \in COMPS$ ,  $W$  contient exactement une seule instanciation du prédicat  $\alpha(c)$  où  $\alpha$  est un symbole abducible.

**Definition [CT91] :** Etant donné un problème abductif  $AP = \langle (BM, COMPS), CXT, (\psi^+, \psi^-) \rangle$ . L'assignation  $W$  pour  $COMPS$  est une explication pour  $AP$  si :

- $W$  couvre  $\psi^+$  ; c-à-d,  $\forall m \in \psi^+ \quad BM \cup CXT \cup W \vdash m$
- $W$  est consistante avec  $\psi^-$  ; c-à-d,  $BM \cup CXT \cup W \not\vdash \psi^-$  est consistante et  $\forall n \in \psi^- \quad BM \cup CXT \cup W \not\vdash n$ .

## 1.6 Conclusion

Dans ce chapitre, on a présenté les approches basées-modèle, notre travail est destiné à la résolution d'un problème de diagnostic des pannes d'un système en se basant sur un modèle causal. Comme nous avons indiqué au début, le formalisme des RdPs est utilisé comme moyen à la fois de représentation du modèle et de raisonnement. Donc, le chapitre

suisant sera consacré à présenter les aspects théoriques à implémenter. En particulier, les BPNs et l'analyse BW ainsi que comment implémenter une telle analyse parallèlement.

# Chapitre 2

## Une technique d'analyse basée sur les BPNs pour la résolution de problème de diagnostic

### Introduction

Durant ces dernières décennies, de nombreux travaux ont été proposés pour la résolution des problèmes de diagnostic avec la proposition de différentes approches. Nous avons choisi l'approche qui utilise un modèle décrivant le comportement du système dans des cas de mal fonctionnement.

Dans ce chapitre, on essayera de donner en détail comment l'analyse d'accessibilité en arrière des réseaux de Petri (PN ou RDP) sert de manière efficace pour résoudre des problèmes de diagnostic à base de modèle PN et plus particulièrement des modèles BPNs. Une telle analyse peut être implémentée de manière parallèle afin d'augmenter en plus l'efficacité.

### 2.1 Réseaux de Petri comportementaux (BPNs)

Comme nous avons indiqué, la méthode de diagnostic utilisée est basée sur un modèle décrivant le système dans le cas de mal fonctionnement. Au niveau de ce modèle, toutes les relations de causalité (ou dépendance) qui peuvent exister entre les pannes, ainsi qu'entre les observations seront exploitées dans le processus de diagnostic. Pour la représentation du modèle, le formalisme de réseaux de Petri et en particulier les BPNs a été utilisé dans la littérature, car il offre plusieurs techniques d'analyse pour accomplir la tâche de diagnostic en plus d'une description directe de toutes les relations de dépendance. Dans ce qui suit, nous illustrons ce formalisme à travers un exemple, pour cela on a besoin premièrement d'expliquer le concept de modèles causaux utilisés comme un outil de description du comportement anormal d'un système, c'est l'objectif de la première section. La deuxième section donne un rappel sur les réseaux de Petri. Ensuite, la présentation sera orientée vers la classe de BPNs et comment leur analyse permet d'accomplir la tâche en question de manière plus efficace.

#### 2.1.1 Modèles causaux

Dans un modèle causal, le comportement anormal d'un système est décrit par un ensemble d'entités et de relations entre ces entités. Chaque composant du système est

modélisé par une entité et les relations décrivent les causalités existantes entre elles.

En fait, les différentes entités du modèle peuvent être classées en trois types :

- Etats initiaux : sont les états qui n'ont pas de cause dans le modèle, Dans le cas d'un modèle de fonctionnement fautif il représente les perturbations initiales menant le système à tomber en panne.
- Etats internes : les conséquences des états initiaux qui ne sont pas observable ou mesurables, ils ne sont pas susceptibles de faire partie de toute solution car ils peuvent être expliqués en termes d'états initiaux.
- Manifestations : les entités observables et représentent les conséquences des états internes (tous les points observables).

### 2.1.2 Réseaux de Petri : notions de base

Tout système peut être vu comme un ensemble de composants qui interagissent entre eux. Ces composants peuvent fonctionner indépendants les uns des autres, on dit qu'il y a parallélisme, c'est pourquoi on a besoin d'outils permettant de modéliser la concurrence. Les réseaux de Petri (PN) sont l'un des modèles formels les plus populaires et les plus avancés pour la description du comportement d'un système parallèle.

Cette section présente brièvement quelques définitions de base [18; Bla+06] concernant les réseaux de Petri.

**Definition [Bla+06] :** un RDP est un triple  $N = (P, T, F)$  dont :

- $P \cap T = \emptyset$
- $P \cup T \neq \emptyset$
- $F \subseteq (P \times T) \cup (T \times P)$
- $\text{Dom}(F) \cup \text{Cod}(F) = P \cup T$

Où

- $P$  : est l'ensemble des places
- $T$  : est l'ensemble des transitions
- $F$  : est un ensemble d'arcs orientés

On utilise les notations classiques suivantes, pour chaque  $x \in P \cup T$  :

- $\bullet x = \{y / y F x\}$
- $x \bullet = \{y / x F y\}$

Un marquage est une fonction  $\mu : P \rightarrow \mathbb{N}$ , pour chaque place  $p$  on associe un nombre entier de jetons.

**Definition [CT90] :** Étant donné un RP  $N = (P, T, F)$  et un marquage  $\mu$ , un RP marqué est défini par :

$\Sigma = (P, T, F, \mu)$  (ou bien  $\Sigma = (N, \mu)$ ).

**Definition [SLA04] :** soit un RDP marqué  $\Sigma = (P, T, F, \mu)$ ; une transition  $t \in T$  est franchissable dans  $\mu$  ssi :  $\forall p \in \bullet t \mu(p) \geq 1$

Si  $t \in T$  est franchissable dans  $\mu$  alors :

$t$  peut produire un nouveau marquage  $\mu'$  (ou écrit  $\mu[t > \mu'$ ) tel que :

$\forall p \in P, \mu'(p) = \mu(p) - \text{pré}(p, t) + \text{post}(p, t)$  où :

- $\text{pré}(p, t) = 1$  si  $(p, t) \in F$ ; 0 sinon.
- $\text{post}(p, t) = 1$  si  $(t, p) \in F$ ; 0 sinon.

L'ensemble des marquages qu'il est possible d'atteindre à partir de  $\mu_0$ , noté par  $R(N, \mu_0)$ , est l'ensemble minimale tel que :

- $\mu_0 \in R(\mu_0)$
- si  $\mu_1 \in R(N, \mu_0)$  et  $\mu_1 [t > \mu_2$  pour chaque  $t \in T$ , alors  $\mu_2 \in R(N, \mu_0)$ .

**Definition [Por93] :** Etant donné un RDP marqué  $\Sigma = (P, T, F, \mu_0)$  :

- Une place  $p \in P$  est  $k$ -bornée ssi :  $\forall \mu \in R(N, \mu_0) \mu(p) \leq k$ ;
- $\Sigma$  est  $k$ -bornée, ssi :  $\forall p_i \in P (p_i \text{ est } k_i\text{-bornée et } k = \max(k_i))$ ;
- Si  $\Sigma$  est 1-bornée alors il est dit *safe*
- $\forall p \in P (\mu(p) \leq 1) \rightarrow$  le marquage est *safe*

**Definition [Rei87] :** un RDP marqué  $\Sigma = (N, \mu_0)$  est non déterministe ssi :  $\forall \mu \in R(N, \mu_0), \forall t_1, t_2 \in T \mu[t_1 > \text{ et } \mu[t_2 >$  Dans ce cas, on dit que  $t_1, t_2$  sont concurrentes.

### 2.1.3 Réseaux de Petri comportementaux (BPNs)

Dans [Bla+06], un modèle RDP comportemental (BPN : Behavioral Petri Net) est utilisé pour adresser le problème de diagnostic basé-modèle. Ce formalisme à modéliser le comportement du système à diagnostiquer.

Les BPNs comprennent deux types de transition, des transitions régulières AND (les transitions de RDP classique), et des transitions OR qui diffèrent des transitions ordinaires, Ce dernier type de transition simplifie la tâche de modélisation.

**Definition [CT91] :** BPN est 4-tuples  $N = (P, T_n, T_{or}, F)$  où :

1.  $T_n \cap T_{or} = \emptyset$
2.  $(P, (T_n \cup T_{or}), F)$  est un réseau
3.  $F^+$  (fermeture transitive de  $F$ ) est non réflexive
4.  $\forall p \in P (|\bullet p| \leq 1 \wedge |p \bullet| \leq 1)$
5.  $\forall p_1, p_2 \in P ((\bullet p_1 = \bullet p_2) \wedge (p_1 \bullet = p_2 \bullet) \rightarrow p_1 = p_2)$
6.  $\forall t \in T_n (|\bullet t| = 1 \wedge |t \bullet| > 0) \vee (|\bullet t| > 0 \wedge |t \bullet| = 1)$
7.  $\forall t \in T_{or} (|\bullet t| = 2 \wedge |t \bullet| = 1)$

Les transitions  $T_n$  sont des transitions d'un RDP classique et peuvent être classés selon :

- Transition linéaire :  $t \in T : |\bullet t| = |t \bullet| = 1$
- Transition fork :  $t \in T : |t \bullet| > 1$
- Transition join :  $t \in T : |\bullet t| > 1$

La figure suivante montre la sémantique de la transition OR

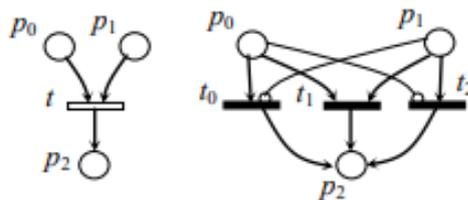


FIGURE 2.1 – la sémantique de la transition OR.

Les transitions  $T_{or}$  sont introduites pour représenter les connexions logiques OR, Elles sont représentées graphiquement par des rectangles, le franchissement d'une transition de ce genre peut être effectué si et seulement si toutes ses places d'entrées sont marquées. Une conséquence évidente de non réflexive de  $F^+$  (l'axiome 3 de la définition 6), est qu'elle définit un ordre partiel dénotée par  $\ll \llcorner \gg$  sur les transitions d'un BPN

Soit  $t_1$  et  $t_2$  deux transitions :  $t_1 < t_2 \Leftrightarrow t_1 F^+ t_2$ .

**Definition [Ham91] :** Étant donné un BPN, un marquage  $\mu$ ,  $t$  est franchissable dans  $\mu$  (on peut le exécutée) ssi : elle est sensibilisée dans  $\mu$  et  $\nexists t' < t$  tel que  $t'$  est sensibilisée dans  $\mu$ .

**Definition [Ham12] :** un marquage initial  $\mu_0$  d'un BPN est un marquage safe si :  $\mu_0(p)=1$  alors  $p$  est une place source ( $\bullet p = \emptyset$ )

**Definition [VK94] :** un BPN marqué est un paire  $(N, \mu)$  où :

- $N$  : est un BPN,
- $\mu$  Est un marquage initial ou est un marquage tel que  $\exists \mu_0$  et  $\mu \in R(N, \mu_0)$

On dit que  $\mu$  est un marquage final si :  $\nexists$  une transition franchissable dans  $\mu$  .

**Théorème [Bla+06] :** Un BPN marqué est safe et déterministe.

**Théorème [CT90] :** Dans le marquage d'un BPN, il existe exactement un seul marquage final (la démonstration de ces théorèmes est donnée dans [Bla+06]).

### 2.1.3.1 Représentation d'un model causal par un BPN

Le formalisme le plus populaire pour la représenter le comportement causal du système à diagnostiquer est les RDP, L'objectif est traduire la description logique du problème de diagnostic en termes atteignabilité dans le modèle RDP, et d'appliquer ensemble d'algorithmes pour exploiter le parallélisme des évolutions concurrentes explicité par le modèle lui-même.

Chaque entité du modèle est représentée par une place dans le modèle BPN, et les relations de causalité sont représentées par des transitions.

Le modèle BPN obtenu est caractérisé par [Bla+06] :

- Une place source ( $p \in P \mid \bullet p = \emptyset$ ) est une place représente un état initial du modèle causal.
- $\forall t \in T_n (\mid \bullet t \mid > 1 \wedge \mid t^\bullet \mid = 1) \vee (\mid \bullet t \mid = 1 \wedge (\mid t^\bullet \mid > 1))$ , Dans le premier cas la panne correspondante à la place d'entrée peut conduire plusieurs éléments à tomber en panne dans un ordre indépendant. Dans le deuxième cas, la panne correspondante à la place de sortie est causée par la conjonction de toutes les pannes sont représentées par les places d'entrées de la transition.
- $\forall t \in T_{or} (\mid \bullet t \mid = 2 \wedge \mid t^\bullet \mid = 1)$ , ce qui signifie que l'une des deux pannes est représentée par les deux places d'entrées provoque la panne correspondante à la place de sortie.
- Le modèle BPN doit être acyclique, c'est une hypothèse commune dans la modélisation du comportement causal d'un système.

### 2.1.3.2 Exemple d'illustration

L'exemple est un extrait depuis [Bla+06], il représente le comportement anormal d'un moteur de voitures. On peut distinguer les entités suivantes :



- Les états initiaux : ils modélisent les états suivants :  $\{ 'Pist - ring - state'(worn), 'Pist - state(worn), ' Road - cond'(poor), ' Ground - clear'(low) \}$ .
- Les états internes : qui modélisent les panes des autres éléments.
- Les manifestations : Elles correspondent aux points d'observation  $\{ 'Ex - smoke(black), ' Oil - ligh'(red), ' Temps - ind'(red) \}$ .

Les transitions représentent les liaisons de dépendances entre ses entités.

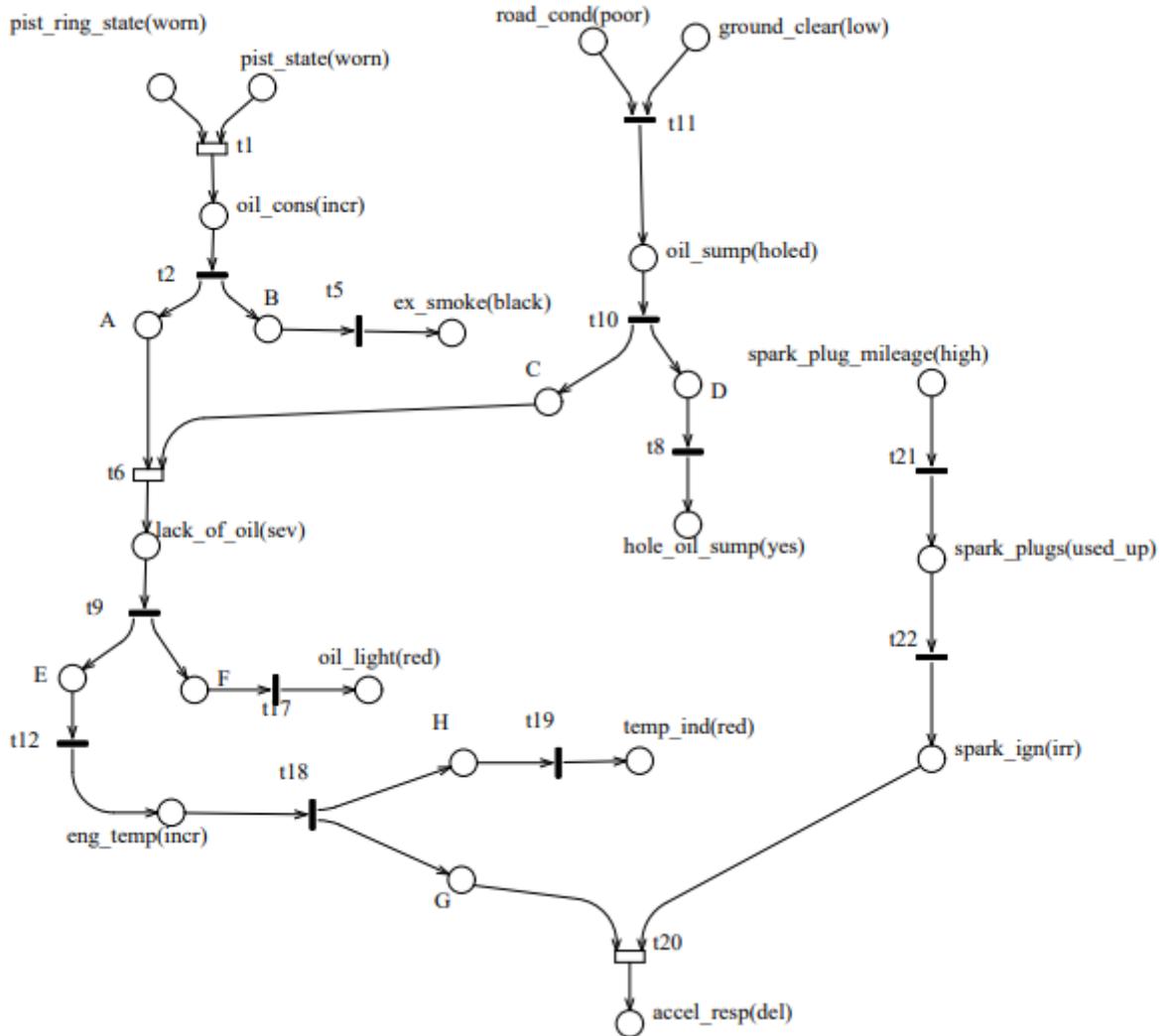


FIGURE 2.2 – Exemple d’un BPN représentant le comportement anormal d’un moteur d’une voiture

## 2.2 Analyse B-W

Dans notre travail, la technique de diagnostic utilisée est L’analyse B-W, elle est basée sur l’analyse de marquages atteignable d’un modèle RDP.

### 2.2.1 Discussion informelle

Étant donnée un  $\Sigma = (N, \mu_0)$  on peut obtenir plusieurs marquages par le franchissement des transitions sensibilisées, on peut aussi atteindre d’autres marquage a partir de nouveau marquages.

La taille d’arbre de couverture s’augmente infiniment si le RDP n’est pas borné. Pour

rendre limité, il faut introduire un symbole spécial  $\omega$ .

Cette méthode d'analyse permet de détecter si le système modélisé possède de bonnes propriétés (l'absence d'interblocage. . .).

On peut utiliser le résultat d'algorithmes arbre de couverture pour résoudre des problèmes de diagnostics, mais son implémentation est complexe. Pour cela la technique d'analyse d'atteignabilité en arrière ont été proposées.

Le principe d'analyse en arrière (B-W analysis) proposée dans [Bla+06] utilise deux types de jetons, jeton normal (noir, noté b) et un jeton inhibé (blanc, noté w).

Lorsque nous modélisons les conditions par des places, la présence de jeton noir signifie que la condition correspondante est satisfaite, A l'inverse, le marquage d'une place par un jeton blanc signifie que la condition n'est pas satisfaite, si la place n'est pas marqué aucune information n'est donnée concernant la condition qui lui est associée.

Logiquement donc, ces conditions correspondent à considérer trois valeurs logiques {vrai, faux, inconnu}

### 2.2.2 Principe et cadre d'utilisation

On a besoin de présenter certains concepts de base relatifs aux RDP [Por93; Bla+06] pour montrer comment l'analyse en arrière exploitée dans le diagnostic.

**Definition [Poo89] :** soit un BPN  $N = (P, T_n, T_{or}, F)$ , un marquage b-w est une fonction  $\mu : p \rightarrow \{b, w, 0\}$

- Si  $\mu(p)=b$  alors la place p est marquée par un jeton normal (noir)
- Si  $\mu(p)=w$  alors la place p est marquée par un jeton inhibé (blanc)
- Si  $\mu(p)=0$  alors la place p est vide.

La notation de règles de franchissement en arrière a été introduite dans [Bla+06; Por93] pour l'analyse b-w . Elle nécessite de considérer le concept d'ordre partial entre les transitions dans un modèle RDP.

$$t1 < t2 \Leftrightarrow t2 > t1 \ (\forall t1, t2 \in (T_n \cup T_{or})).$$

**Definition [] :** Etant donnée  $N = (P, T_n, T_{or}, F)$ ,  $\mu$  un marquage b-w et  $t \in (T_n \cup T_{or})$  :

- t est b-franchissable dans  $\mu$  si :  $\forall p \in t^\bullet (\mu(p) = b \wedge p^\bullet = \emptyset)$ ;
- $\neg$  t est b-franchissable dans  $\mu$  si :  $\forall p \in t^\bullet (\mu(p) = w \wedge p^\bullet = \emptyset)$ ;
- t est b-franchissable dans  $\mu$  si :  $\forall p \in t^\bullet (\mu(p) = b \wedge p^\bullet \neq \emptyset)$  et  $\nexists t' > t$  (ou  $\neg t'$  est franchissable dans  $\mu$ );
- $\neg$  t est b-franchissable dans  $\mu$  si :  $\forall p \in t^\bullet (\mu(p) = w \wedge p^\bullet \neq \emptyset)$  et  $\nexists t' > t$  (ou  $\neg t'$  est franchissable dans  $\mu$ );

**Definition [] :** Étant donné un BPN  $N = (P, T_n, T_{or}, F)$ , un marquage b-w  $\mu$  est inconsistant ssi :  $\exists t \in T_n$  et  $\exists p_i, p_j \in t^\bullet$  tel que :  $\mu(p_i) = b$  et  $\mu(p_j) = w$ .

En autre termes, si on a une transition fork , il n'est pas possible d'avoir des jetons de type différents marquant ses places de sortie.

En l'analyse b-w, il est possible de forcer le franchissement en arrière de transition de type "fork" par la définition suivante.

**Definition [] :** soit un BPN  $N = (P, T_n, T_{or}, F)$ , une transition  $t \in T_n$ , tel que  $t^\bullet = \{p_1, \dots, p_r\}$  est forcée dans le marquage b-w  $\mu$  ssi :

1.  $t$  est non b-franchissable dans  $\mu$ ;
2.  $\mu$  est non inconsistant;
3.  $\exists p_i (1 \leq i \leq r) \mu(p_i) \neq 0$ ;
4.  $\nexists t' < t$  ( $t'$  ou  $\neg t'$  est b-franchissable ou forcée dans  $\mu$ ).

L'étape d'abstraction peut être formalisée comme la suite :  
si  $t$  est forcée alors :

$$\forall p_i \in t^\bullet \mu(p_i) = 0 \Rightarrow (\mu(p_i) = b \vee \mu(p_i) = w), \text{ tel que } \mu \text{ n'est pas inconsistant.}$$

Ceci implique qu'il faut marquer les places vides dans la sortie de  $t$  avec le même type de jetons contenus dans les places marquées.

**Definition [Moz92] :** Étant donnée un BPN,  $\mu$  un marquage b-w, b-étape dans  $\mu$  est l'ensemble maximal  $s = \{t_{i_1} \dots t_{i_r} \neg t_{j_1} \dots \neg t_{j_s}\}$  qui a la propriété que chaque  $t_{i_k} (1 \leq k \leq r)$  et chaque  $\neg t_{j_h} (1 \leq h \leq s)$  est b-franchissable dans  $\mu$

Chaque  $s' \subseteq s$  est dit b-sous-étape.

Pour monter comment un nouveau marquage b-w est produit à partir d'un ancien marquage dans l'analyse b-w, les règles de franchissement en arrière suivantes ont été introduites par [Bla+06; Por93].

1.  $\bullet p = \{t\} \wedge t \in T_n (\bullet t = \{p_1, \dots, p_r\}, r \leq 1)$ ;
2.  $\bullet p = \{t\} \wedge t \in T_{or} (\bullet t = \{p_1, p_2\})$

Pour chaque cas on peut distinguer deux alternatives. Soit  $\mu'$  le marquage obtenu à partir d'une b-étape  $s$  dans  $\mu$  :

1.a  $\mu(p) = b \rightarrow \{t\}$  est une b-sous-étape de  $s$ ,  $\mu'(p_1) = \dots = \mu'(p_r) = b$  et  $\mu'(p) = 0$ ;

1.b)  $\mu(p) = w \rightarrow \{\neg t\}$  est une b-sous-étape de  $s$  et on a des choix non déterministes tel que  $\langle \mu'(p_1), \dots, \mu'(p_r) \rangle$  est une combinaison de valeurs de  $\{b, w\}$ , différent du cas :  $\forall p_i (1 \leq i \leq r) \mu'(p_i) = b$ ;

2.a)  $\mu(p) = w \rightarrow \{\neg t\}$  est une b-sous-étape de  $s$ ,  $\mu'(p_0) = \mu'(p_1) = w$  et  $\mu'(p) = 0$ ;

2.b)  $\mu(p) = b \Rightarrow$  on a des choix non déterministes :

- $\{t\}$  est une b-sous-étape de  $s$ ,  $\mu'(p_0) = b, \mu'(p_1) = w$  et  $\mu'(p) = 0$ ;
- $\{t\}$  est une b-sous-étape de  $s$ ,  $\mu'(p_0) = b, \mu'(p_1) = b$  et  $\mu'(p) = 0$ ;
- $\{t\}$  est une b-sous-étape de  $s$ ,  $\mu'(p_0) = w, \mu'(p_1) = b$  et  $\mu'(p) = 0$ ;

La figure suivante va présenter graphiquement les règles de franchissement en arrière

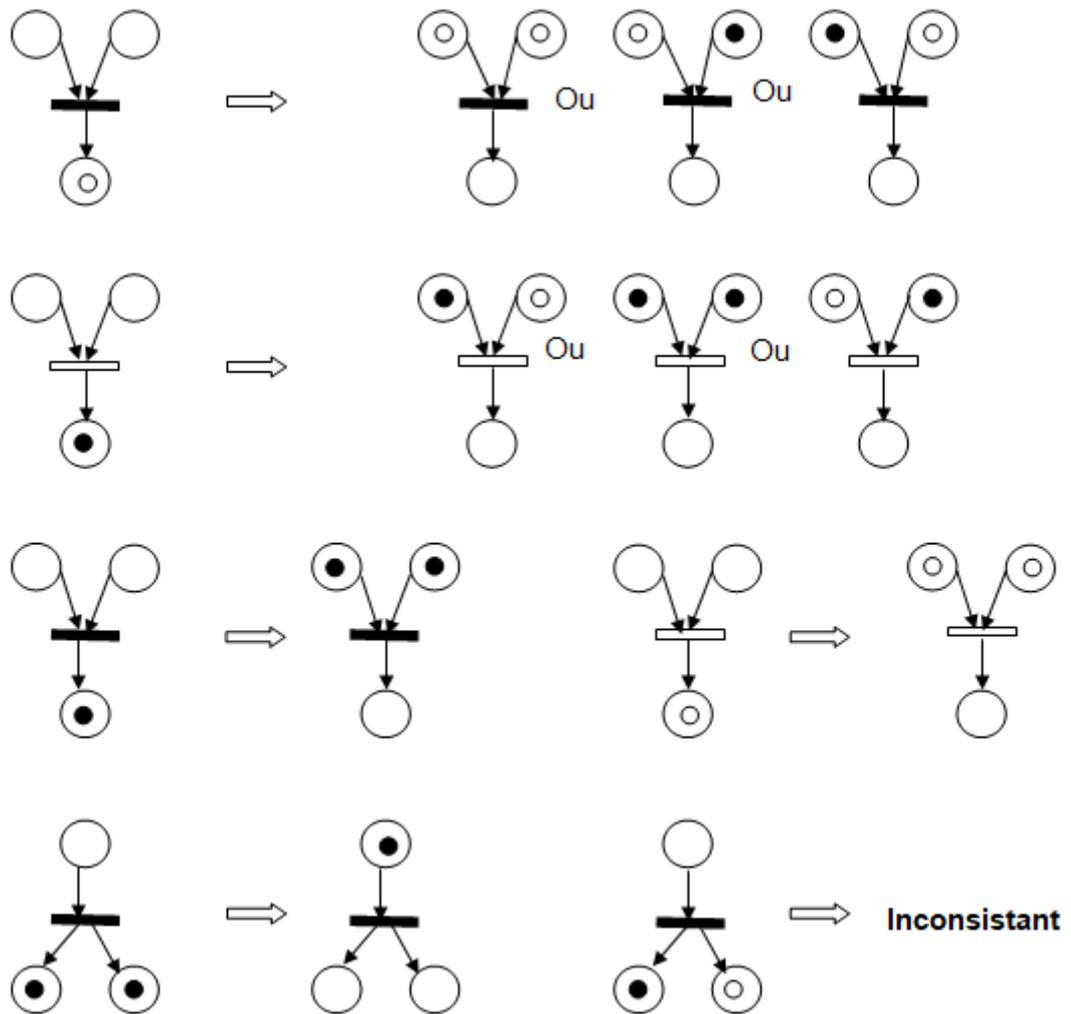


FIGURE 2.3 – les règles de franchissement en arrière d'un BPN

La condition d'arrêt du processus d'application de b-w partant d'un marquage b-w  $\mu$  tel que :  $\mu(p) \neq 0 \rightarrow p^* = \emptyset$  (p est une place puits) est :

1. Soit un marquage initial b-w.
2. Soit un marquage b-w inconsistant.

En le premier cas, les conditions initiales qu'elles n'ont pas de signification dans le cas sous examen sont représentées par des places sources vides. Par contre, les places sources qui sont marquées avec des jetons normales et inhibés représentent les conditions initiales qu'elles ont été démontrées vraie et fausse respectivement.

La figure 2.4 représente le résultat de l'analyse B-W de BPN figure 1, dont le marquage de démarrage est :  $\{ "Ex - smoke"(black)[w], "Oil - light(red)[b], "Temp - ind(red)[b] \}$

Dans le graphe de raisonnement en arrière pour l'analyse B-W, on utilise les notations :

- p [b] signifie que la place p est marqué avec un jeton noir ;
- p [w] que la place p est marqué avec un jeton blanc ;
- les arcs sont étiquetés avec b-étape ;
- les transitions soulignées représentent les transitions forcées

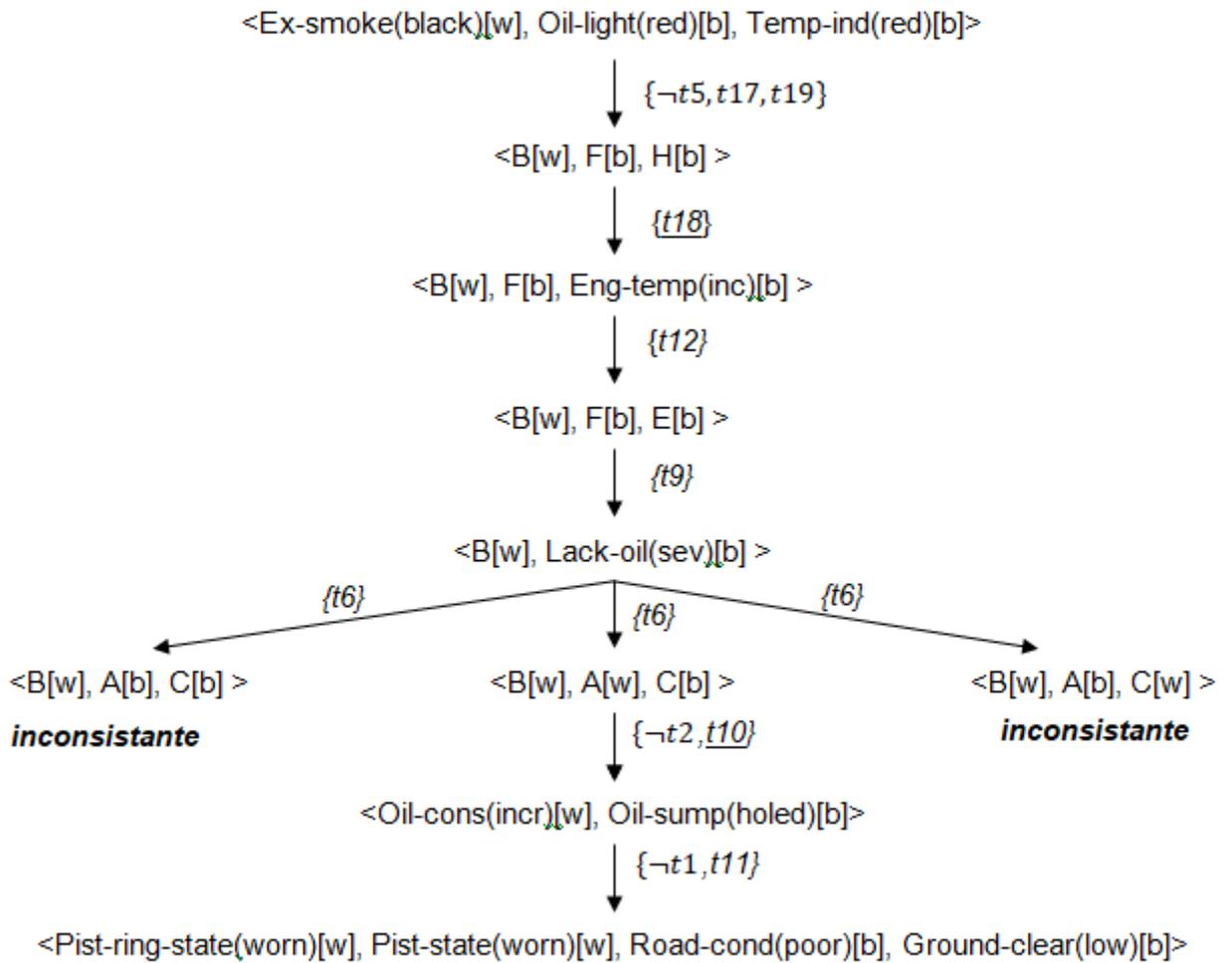


FIGURE 2.4 – graphe de raisonnement en arrière pour l’analyse B-W

### 2.3 Application de la technique B-W pour la résolution de problèmes de diagnostic

Comme nous avons vu dans le chapitre précédent, un problème de diagnostic est défini par  $DP = (\langle BM, COMP \rangle, Exp, \langle \psi^+, \psi^- \rangle)$  où :

BM : est le modèle comportemental, il est formé d’un ensemble de formules du premier ordre représentant les connaissances autour du système S.

COMP : est un ensemble de composants du système.

Exp : l’ensemble des causes initiaux menant le système à suivre un comportement anormal.

$\psi^+$  : est l’ensemble d’observations qui doivent être prédites par une solution.

$\psi^-$  : est l’ensemble d’observations négatives (les valeurs qui sont en conflit avec les observations).

**Definition [DMR92] :** Étant donné un problème de diagnostic  $DP = (\langle BM, COMP \rangle, Exp, \langle \psi^+, \psi^- \rangle)$ ,  $E \subseteq Exp$  est une solution (diagnostic) pour DP ssi :

$$\begin{aligned} \forall m \in \psi^+ \quad S \cup E \vdash m \\ \forall n \in \psi^- \quad S \cup E \not\vdash n. \end{aligned}$$

**Definition [16] :** Un BPN de diagnostic est défini comme DP-BPN =  $(N_s, P_E, < P^+, P^- >)$  où :

- $P_E = \{p \in P \mid \Phi(p) \in Exp\}$ ;
- $P^+ = \{p \in P \mid \Phi(p) \in \psi^+\}$ ;
- $P^- = \{p \in P \mid \Phi(p) \in \psi^-\}$ .

Tel que :

$N_s$  : est le BPN correspondant au système;

$P_E$  est l'ensemble des places représentant l'ensemble Exp ;

$P^+$  est l'ensemble des places représentant les manifestations observées, et qui doivent être couvertes par la solution ;

$P^-$  : est l'ensemble des places représentant les manifestations absentes, et qui ne doivent pas être couvertes par la solution.

$\phi(p)$  est une fonction d'interprétation. Elle associe place du modèle une interprétation.

**Definition [17] :** un marquage  $\mu$  de BPN covers un ensemble de places Q ssi :

$$\forall p \in Q \rightarrow \mu(p) = 1 .$$

**Definition [18] :** marquage  $\mu$  de BPN zéro-covers un ensemble de places Q ssi :

$$\forall p \in Q \rightarrow \mu(p) = 0.$$

**Théorème [SLA04] :** soit DP-BPN =  $(N_s, P_E, < P^+, P^- >)$  un BPN de diagnostic, un marquage b-w initial  $\mu_E$  est une solution pour DP-BPN ssi :

Le marquage b-w final  $\mu$  de  $N_s$  covers  $P^+$  et zéro-covers  $P^-$ .

### 2.3.1 Exemple

Supposons dans notre exemple (la figure 2.4) l'observation est {"Ex-smoke"(black)[w], "Oil-light"(red)[b], "Temp-ind"(red)[b]}.

Les ensembles  $P^+$  et  $P^-$  sont identifiées via une comparaison entre les valeurs des paramètres de l'observation OBS et celles attendues depuis le modèle.

$$P^+ = \{"Oil-light"(red)[b], "Temp-ind"(red)[b]\};$$

$$P^- = \{"Ex-smoke"(black)[w]\}$$

$$P_E = \{"Pist-ring-state"(worn), "Pist-state"(worn), "Road-cond"(poor), "Ground-clear"(low), "Spark-plug-mileage"(high)\}$$

La résolution de ce problème sera calculée par l'analyse b-w tous en considérant les différents cas du marquage b-w  $\mu$  :

$$\mu(p) = \begin{cases} b & \text{si } p \in P^+; \\ w & \text{si } p \in P^-; \\ 0 & \text{sinon} \end{cases}$$

Alors on peut obtenu toutes les solutions possibles par l'exploitation des différentes alternatives non déterministes. Dans le cas d'un marquage inconsistant, l'alternative sera ignorée et il faut examiner d'autres possibilités ; en prenant en considération le marquage

initial obtenu à la fin de l'analyse b-w.

La solution obtenue doit être constituée par des conditions correspondantes aux places marquées avec des jetons normales et par la négation des conditions correspondantes aux places marquées avec des jetons inhibés.

Le graphe de la figure 2.4 représente les calculs de la solution du problème DP-BPN par l'analyse b-w. Donc la seule solution possible est :

$$E = \{ \text{"}\neg\text{Pist-ring-state"}(worn), \text{"}\neg\text{Pist-state"}(worn), \text{"Road-cond"}(poor), \text{"Ground-clear"}(low) \}$$

## 2.4 Exploitation de parallélisme dans l'analyse en arrière

Dans cette section, nous décrivons comment l'analyse b-w peut être effectuée à l'aide d'un ensemble de processus asynchrones, exécution concurrent et interaction par échange de messages.

Deux types d'approches différentes ont été proposés dans la littérature pour l'implémentation concurrent du jeu de jetons, généralement classé comme centralisé ou décentralisé. D'une part en l'approche centralisé, le jeu de jetons est effectué par un ensemble de processus dont l'exécution est contrôlée par un processus coordinateur, d'autre part les approches décentralisées reposent sur un ensemble de processus séquentiels fonctionnant de manière asynchrone et interagissant par un mécanisme de communication / synchronisation

L'approche que nous choisissons dans notre travail est **décentralisé**.

Notre approche fonctionne comme suit : la première étape est la dérivation d'une partition des transitions d'un modèle BPN donné puis un processus est associé à chaque sous-ensemble de transitions[Bla+06].

### 2.4.1 Partitionnement de réseau (BPN)

Pour partitionner l'ensemble des transitions, nous utilisons une relation binaire  $\asymp$  définie sur  $(T_n \cup T_{or}) \times (T_n \cup T_{or})$ .

**Definition [19] :** Soit  $t_i, t_j$  deux transition d'un BPN  $N$ , la relation  $\asymp \subseteq T \times T$  est défini par :  
 $t_i \asymp t_j \Leftrightarrow | \bullet t_i | = 1$  et  $| t_j^\bullet | = 1 \wedge \bullet t_i = t_j^\bullet$

**Propriété [Bla+06] :** Soit  $t_i, t_j, t \in T$  être transition d'un BPN  $N$ , si  $t_i \asymp t$  et  $t_j \asymp t$  alors  $t_i = t_j$ .

**Definition [20] :** Étant donnée un BPN  $N$ , une transition  $t \in T$  est dit transition de départ ssi :

$$| t^\bullet | > 1 \text{ ou } (| t^\bullet | = 1 \wedge t^\bullet \cap \bullet t_j = \emptyset), \forall t_j \in T.$$

La définition ci-dessus correspond à dire qu'une transition de départ a soit plusieurs places de sortie, soit exactement une place de sortie.

Étant donné une transition de départ  $t$ , il est possible de définir un sous-ensemble de transition appelé sous-ensemble de partitionnement généré par  $t$  de la manière suivante :

**Definition [21] :** soit  $t \in T$  est une transition de départ d'un BPN  $N$ . sous-ensemble de transition  $T_i \subseteq T$  généré par la transition  $t$  est défini par :

1.  $t \in T_i$
2. si  $t_i \in T_i \wedge \exists t_j \in T : t_i \asymp t_j$  alors  $t_j \in T_i$

Une transition de départ  $t$ , son sous-ensemble de partitionnement correspondant  $T_i$  est construit en calculant la fermeture transitive  $\succ^+$  de la relation binaire  $\succ$ .

Le processus s'arrête lorsque la première transition  $t_j$ , telle que  $\forall t_k \in T \ t_j \neq t_k$  est ajouté à  $T_i$  une telle transition  $t_j$  serait la transition de fin de  $T_i$ . Par la définition de la relation binaire, une transition de fin  $t$  peut être caractérisé de la manière suivante : soit (a)  $|\bullet t| > 1$  ou (b)  $\bullet t = \{p\}$  et  $p$  est une place source ou (c)  $\bullet t = \{p\}$  et  $\bullet t \subseteq t_j^\bullet$  et  $t$  est une transition de départ.

Étant donné une partition de l'ensemble des transitions, il est possible de générer des sous-ensemble indépendants appelés **sous-ensemble générés par transition**.

**Definition [22] :** soit  $N = (P, T_n, T_{or}, F)$  être un BPN et soit  $T = T_n \cup T_{or}$ . Étant donné une partition  $\{T_1, \dots, T_n\}$  de  $T$ , on définit les sous-ensemble générés par transition (TGS) de  $N$ . la partition à être des réseaux  $N_i = (P_i, T_i, F_i) (i = 1, \dots, n)$  où :

- $P_i = P \cap (\bullet T_i \cup T_i^\bullet)$
- $F_i = F \cap ((P_i \times T_i) \cup (T_i \times P_i))$

Étant donné un TGS  $N_i$ , on dénote :

$S(N_i)$  est une transition de départ

$E(N_i)$  est une transition de fin

La figure montre les sous-ensembles de partitionnement  $T_i$ , obtenus à partir du réseau de la figure 2.2



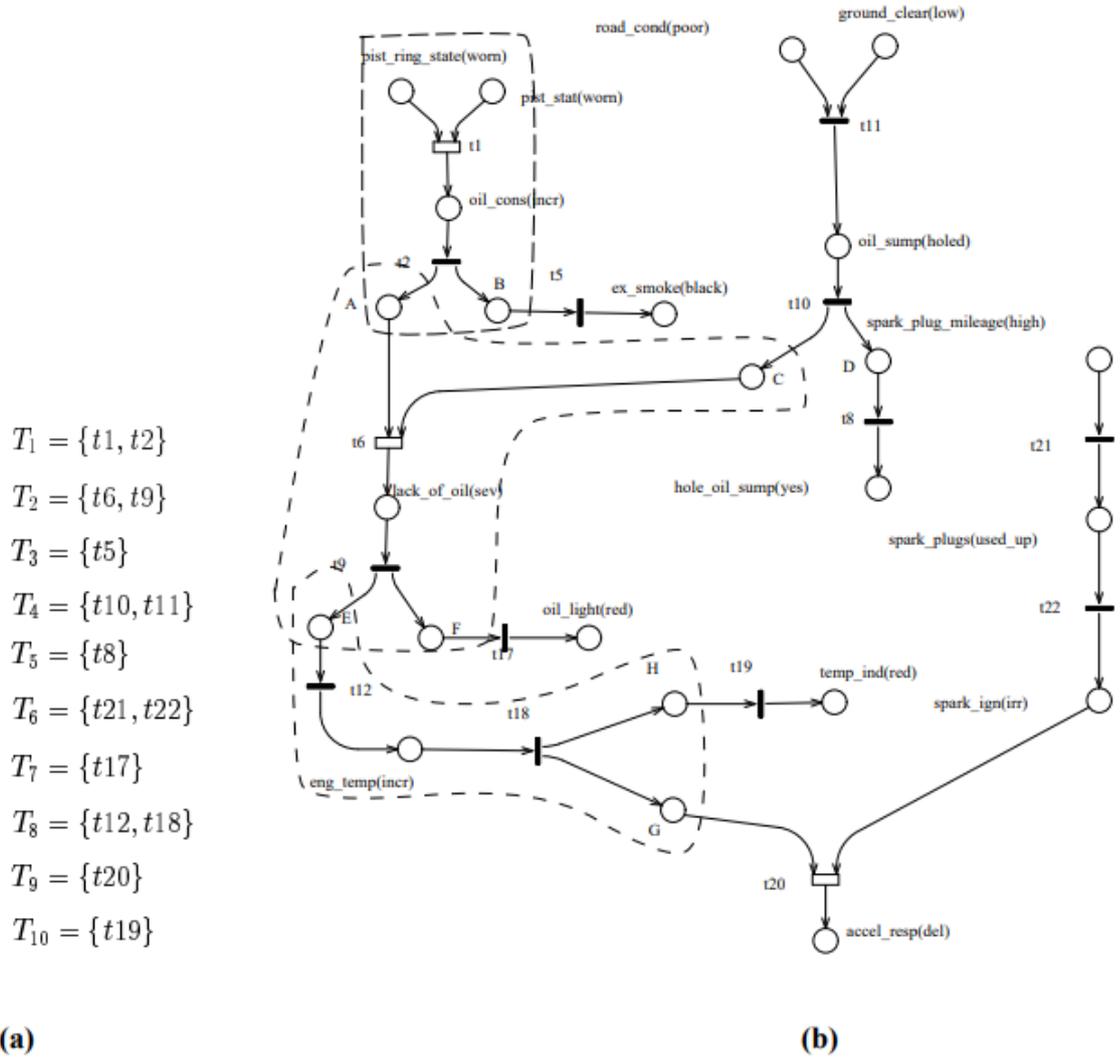


FIGURE 2.5 – un exemple d’application de la technique de partitionnement

### 2.4.2 Dérivation de processus

Etant donné un modèle BPN, un processus est associé à chaque TGS généré, chaque processus est construit en fournissant, pour chaque transition dans un TGS donné, une activité mettant en œuvre sa règle de franchissement en arrière, en composant séquentiellement les activités ci-dessus à partir de la transition de départ et ajouter consécutivement celles liées aux transitions dans le même TGS. On utilise Un processus supplémentaire appelé processus d’assemblage (AP) pour collecter les résultats partiels des processus contenant les places sources et il est responsable de l’assemblage de la solution finale.

Selon la définition 6, chaque transition  $t$  d’un BPN  $N = (P, T_n, T_{or}, F)$  peut être classée comme transition Join, fork ou transition linéaire. À chaque classe de transition, une activité simple, exécutant la règle de franchissement en arrière pour cette classe, comme illustré dans la figure 2.6, la notation suivante a été utilisée : les listes de paramètres d’entrée et de sortie ont été spécifiées en utilisant les mots-clés in et out, tandis que le symbole ‘ $\square$ ’ est utilisé pour désigner différentes alternatives mutuellement exclusives. Dans l’activité correspondant aux jointures de transitions, nous désignons comme  $A_i$  une parmi les  $2n-1$  instanciations possibles des valeurs aux variables de sortie (sauf que en affectant  $b$  à toutes) l’activité correspondant aux transitions linéaires a été omise car elle

correspond à une copie du contenu de sa variable d'entrée unique à la variable de sortie unique.

<pre> <b>Procedure Join</b> (in p; out <math>p_1, p_2, \dots, p_n</math>); <b>Begin</b>   if p = b then     <math>p_1 := b; p_2 := b; \dots; p_n := b</math>   else     <b>nondeterministically do</b>       □ <math>A_1</math>       □ <math>A_2</math>       .       □ <math>A_{2^{n-1}}</math>     <b>enddo</b>   <b>endif</b> <b>end</b> </pre>	<pre> <b>Procedure Or</b> (in p; out <math>p_1, p_2</math>); <b>Begin</b>   if p = w then     <math>p_1 := w; p_2 := w</math>   else     <b>nondeterministically do</b>       <math>p_1 := b; p_2 := w</math>       <math>p_1 := b; p_2 := b</math>       <math>p_1 := w; p_2 := b</math>     <b>enddo</b>   <b>endif</b> <b>end</b> </pre>	<pre> <b>Procedure Fork</b> (in <math>p_1, p_2, \dots, p_n</math>; out p); <b>Begin</b>   if <math>p_1, p_2, \dots, p_n</math> inconsistent then quit   <b>endif</b>   if <math>\exists i: p_i = b</math> then p := b   else p := w   <b>endif</b> <b>end</b> </pre>
---	---	--

FIGURE 2.6 – activités associées aux classes de transition

Le comportement d'une activité est dérivé de la règle de franchissement en arrière, définie pour la classe de transitions correspondante, de la manière suivante :

Étant donné une transition  $t$ , nous introduisons dans l'activité associée un variable de sortie pour chaque place  $\bullet t$  et une variable d'entrée pour chaque place  $t \bullet$ . Le variable contient des jetons noirs (b) ou blancs (w); si aucun jeton n'est contenu dans une place, le contenu de la variable correspondante n'est pas défini, pour qu'une activité démarre, le contenu de toutes ses variables d'entrée doit être défini et à la fin, le contenu de ses variables de sortie est mis à jour. Une activité correspondant à une transition ayant plusieurs places de sortie est appelée point de synchronisation, car toute sa variable d'entrée doit être définie pour l'activité démarre. L'ensemble des variables de sortie d'une activité  $t_1$  peut ne pas être dissocié de l'ensemble des variables de sortie d'une autre activité  $t_2$ , la fin de  $t_1$  peut impliquer le début de  $t_2$ ;  $t_2$  reçoit en entrée les données produites par  $t_1$ .

Dans ce cas, nous disons que  $t_1$  et  $t_2$  sont des activités qui interagissent. Le contenu du variable correspondant aux places puits est considéré comme un élément de données fourni par l'environnement externe, tandis qu'à d'autres places, les éléments de données sont fournis par d'autres activités.

Il est noter que l'ensemble de TGS ne forme pas de partition sur l'ensemble des places d'un BPN donné. Cela implique que certains processus ont des variables correspondant à la même place dans le BPN. Dans ce cas, nous considérons les variables comme des tampons d'entrée et de sortie d'un canal de communication entre les processus. Plus précisément si  $N_i, N_j$  sont deux TGS tels que  $\bullet E(N_i) \cap S(N_j) \bullet \neq 0$ , alors il existe un canal de communication entre les processus  $\Pi_i$  et  $\Pi_j$ , correspondant respectivement à  $N_i$  et  $N_j$ , et le flux de message se produit de manière asynchrone de  $\Pi_i$  à  $\Pi_j$ .

L'utilisation de TGS pour dériver l'ensemble de processus effectuant la technique d'analyse B-W peut entraîner des problèmes de blocage. En fait, il peut arriver que certains processus contenant des places puits ne soient jamais actifs en raison du marquage initial particulier. Par conséquent, certains autres processus en attente de traitement des

messages inactifs sont bloqués. Cet effet se propage à travers tous les processus, produisant ainsi un blocage. Dans le modèle d'exécution séquentielle, les transitions qui ne sont jamais actives sont forcées de se déclencher (ce sont des transitions forcées). Des transitions forcées pourraient également être utilisées dans le modèle d'exécution parallèle, mais une solution plus efficace peut être conçue. Ce problème peut en fait être résolu en observant que si la transition de départ d'un TGS ne peut pas recevoir de jetons à ses places de sortie, alors ces places peuvent être supprimées. Si toutes les places de sortie de la transition de départ d'un TGS sont supprimées, le TGS global peut être supprimé. Considérant le programme concurrent, cette étape correspond à l'élimination des canaux et processus d'entrée. Pour obtenir un programme concurrent sans blocage, une étape de simplification sur tous les TGS est effectuée.

L'étape de simplification est définie comme suit :

1. étant donné un TGS  $N_i$ , supprimer tous les places  $p \in S(N_i)^\bullet$  qui sont des places puits non marqués.
2. si  $S(N_i)^\bullet$  devient vide, retirez  $N_i$  de l'ensemble des TGS.
3. si  $N_i$  a été supprimé, supprimez tous les places dans  ${}^\bullet E(N_i)$ .

L'étape de simplification est effectuée de manière itérative en considérant chaque TGS tour à tour. Après l'étape de simplification, l'ensemble des processus correspondant au TGS restant est construit. De cette façon, aucun processus n'attendra un message qui ne peut pas être envoyé, le programme résultant est donc sans blocage.

L'ensemble de TGS correspondant à un BPN donné peut être considéré comme un modèle, pour l'ensemble de processus effectuant une analyse B-W, qui peut être instancié selon le marquage initial pour l'analyse B-W. Lorsqu'un tel marquage est spécifié, une étape de simplification est réalisée et seul le processus correspondant au TGS restant est construit et programmé pour exécution. La construction de l'ensemble de TGS ne doit être effectuée qu'une seule fois pour un modèle BPN donné, l'étape de simplification doit être effectuée chaque fois qu'un nouveau marquage initial pour l'analyse B-W est spécifié. [Bla+06].

### 2.4.3 Plusieurs solutions et vérification des incohérences

L'objectif est de concevoir et d'analyser toutes les évolutions possibles du système. Afin d'accomplir cette tâche, le comportement des activités élémentaires doit être modifié comme expliqué ci-dessous. Lorsqu'un choix non déterministe est présent, chaque alternative possible est générée puis propagée entre les activités, permettant le calcul de l'ensemble global des solutions au sein d'une même exécution. Il convient de noter que la génération exhaustive d'alternatives implique que chaque lieu peut contenir simultanément plus de jetons, chacun étant lié à une alternative particulière. Pour gérer correctement cette situation, il est nécessaire de suivre les différentes évolutions générées. Cela peut être accompli en modifiant l'interprétation des variables, en les considérant comme des tampons de mémoire qui peuvent contenir plusieurs éléments du type  $(c, v)$  où  $c \in \{b, w\}$  représente soit un jeton noir ( $c = b$ ) ou un jeton blanc ( $c = w$ ) et  $v$  appelé **identificateur d'évolution (eid)**, est un caractère désigne un chemin dans le graphe de raisonnement en arrière, d'une manière similaire le contenu de chaque message échangé entre les processus peut être défini.

En utilisant cette méthode, toutes les alternatives possibles, générées lors de l'analyse B-W, peuvent être considérées dans la même exécution; cela signifie que toutes les solutions possibles au problème de diagnostic peuvent être collectées à la fin de l'analyse. Il

convient de noter que de cette manière, à la fin de l'analyse, le graphe d'accessibilité en arrière n'est pas disponible pour le processus d'assemblage. Néanmoins, il peut être facilement construit par AP si les éléments de données sont modifiés pour inclure également des informations sur le franchissement de la transition [Bla+06].

Le choix d'un ensemble de processus fonctionnant de manière asynchrone implique qu'il n'y a pas de représentation explicite du marquage, qui est plutôt divisé entre différents processus. Ce cas implique un protocole pour la vérification des incohérences. En fait, un processus découvrant l'incohérence d'un marquage donné devrait signaler l'incohérence à tous les autres processus gérant différentes parties d'un même marquage. Quelle que soit l'absence d'un état global, il se peut que les processus découvrant l'incohérence ne connaissent pas les identités des autres processus détenant une partie du même marquage. Nous proposons une solution appelée i-propagation, basée sur la propagation des points de synchronisation des incohérences. Le processus découvrant le marquage incohérent produit un élément de données du type  $(i, v)$  où  $i$  signifie incohérent et  $v$  est l'eid actuel, un tel élément de données est ensuite propagé au moyen de messages à d'autres processus, l'incohérence est décourageant au moyen d'une opération de fusion (merge), définie sur l'élément de données susmentionné, effectuée à chaque point de synchronisation. L'opération de fusion (merge) est une opération commutative définie comme suit[Bla+06] :

**Definition [23] :** Soit  $v'$  un préfixe de  $v$  et  $c, c' \in (b, w)$  tel que  $c \neq c'$

- $\text{merge}(\langle c, v \rangle, \langle c, v' \rangle) = \langle c, v \rangle$
- $\text{merge}(\langle c, v \rangle, \langle c', v' \rangle) = \langle i, v \rangle$
- $\text{merge}(\langle c, v \rangle, \langle i, v' \rangle) = \text{merge}(\langle i, v \rangle, \langle c, v' \rangle) = \langle i, v \rangle$

Etant donné que la première opération après un point de synchronisation correspond à une transition de classe fork, le résultat de la fusion est mis au place d'entrée d'une telle transition. L'opération merge est effectuée sur des éléments de données avec le même eid, contenus dans des tampons de mémoire différents correspondant aux places de sortie de la transition. A la fin de l'analyse, le processus d'assemblage vérifie tous les éléments de données contenus dans les places source. Si l'un de ces places contient un élément de données du type  $(i, v)$ , alors à partir de chaque place source, les éléments de données  $(c, v)$ , qui sont liés à la même évolution  $v$ , sont supprimés et ne sont pas considérés comme une solution finale. [Bla+06].

## 2.4.4 Exemple

Dans cette section, nous décrivons un exemple de dérivation du programme parallèle mettant en œuvre l'analyse B-W pour le BPN représenté sur la figure 2.5 et son exécution sur un marquage de départ particulier. Dans ce qui suit, nous désignons comme  $N_i$  le sous-réseau généré par la transition correspondant au sous-réseau de partitionnement  $T_i$ , et avec  $\Pi_i$  le processus correspondant à  $N_i$ .

Supposons que le marquage de départ pour l'analyse B-W est ex-smoke (black) [w], oil-light (red) [b], temp-ind (red) [b]. L'étape de simplification sur l'ensemble des TGS est réalisée comme suit :

- $N_9$  est supprimé de l'ensemble de TGS puisque  $S(N_9)^\bullet$  ne contient qu'une seule place non marqué.
- les places G et spark-ign (irr) sont supprimés à la suite de la suppression de  $N_9$ .
- les places G et spark-ign (irr) sont supprimés à la suite de la suppression de  $N_9$ .
- $N_6$  est supprimé car la place unique dans  $S(N_6)^\bullet$  (spark-ign (irr)) a été supprimée à la suite de la suppression de  $N_9$ .
- $N_5$  est supprimé car  $S(N_5)^\bullet$  ne contient qu'une seule place non marqué.

Après l'étape de simplification décrite, l'ensemble des processus correspondant aux TGS restants est construit. Sur la figure 2.7, l'interaction entre les processus est représentée par un graphique dans lequel les nœuds correspondent aux processus et les arcs dirigés correspondent aux communications sont représentés par des directions d'arc.

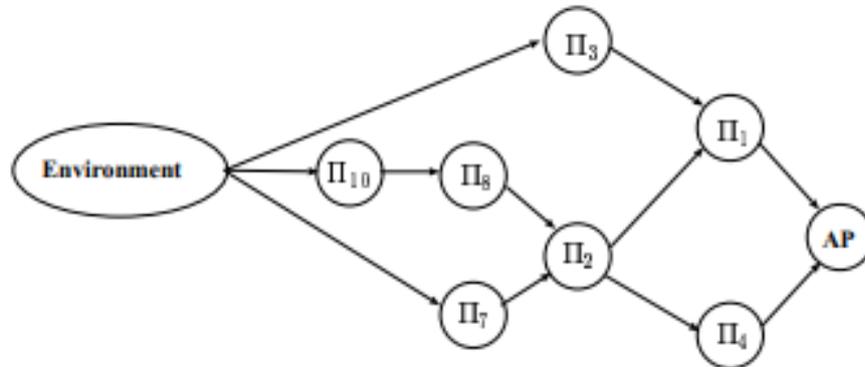


FIGURE 2.7 – structure d'interaction des processus correspondant au TGS dans a figure 2.5

On présente maintenant un exemple d'exécution du programme concurrent sur le marquage de départ défini ci-dessus. Par souci de simplicité dans la description, nous supposons que si plus d'alternatives sont générées par un processus, alors tous les messages correspondants sont envoyés dans un groupe de signaux à chaque processus de destination. De plus, nous ne considérons pas le fait que différents processus peuvent avoir besoin de temps différents pour effectuer un calcul interne avant d'envoyer un message. Cela implique qu'après réception d'un message, la prochaine action effectuée par un processus est l'envoi du message correspondant aux résultats de son calcul interne. Cet expédient nous permet de décrire l'exécution du programme exemple de façon étape par étape. Cette hypothèse n'est faite qu'à des fins de description ; en fait, dans les exécutions réelles, toutes les actions décrites se produisent de manière asynchrone.

Dans la description, nous utilisons la notation  $\Pi_i \xrightarrow{Q} \Pi_j : \{m_1, \dots, m_k\}$  pour indiquer que le processus  $\Pi_i$  envoie au processus  $\Pi_j$  le groupe de messages  $m_1, \dots, m_k$  via le canal  $Q$ .

La notation  $\Pi_j \xrightarrow{Q} \Pi_i$  est utilisée pour indiquer que le processus  $\Pi_i$  attend un message du processus  $T_j$  via le canal  $Q$ .

La spécification du canal sur lequel les messages sont envoyés est nécessaire si un processus contient plus d'une place source (dans notre exemple  $\Pi_1$  et  $\Pi_4$ ). De cette façon, le processus d'assemblage peut construire la solution finale. Il convient de noter qu'un processus peut avoir plus de deux canaux d'entrée.

L'opération de fusion doit donc être appliquée de cette manière :

exemple si  $\{m_1, \dots, m_n\}$  est un ensemble de messages tels que  $m_1$  est reçu du canal  $P_i$ , que la séquence résultante d'applications de l'opération de fusion est

$$\text{merge} (m_n, \text{merge}(m_{n-1}, \text{merge}(m_{n-2}, \text{merge}(\dots \text{merge}(m_2, m_1) \dots))))$$

la fonction  $\text{tmerge}^* (\{m_1, \dots, m_n\})$  est utilisée pour désigner l'opération de fusion appliquée à un ensemble de messages. Cette fonction est récursivement définie comme

- $\text{merge}^* (\{m_1, \tau\}) = m_1$
- $\text{merge}^* (\{m_1, m_2, \dots, m_n\}) = \text{merge}(\text{merge}^* (\{m_1, \dots, m_{n-1}\}), m_n)$

Où  $m_1, \dots, m_n$  sont des messages et  $\tau$  désigne le message vide.

dans ce qui suit, nous désignons respectivement  $C_1, C_2, C_3, C_4$  le canal de communication pist-ring-state (worn), pist-state (worn), road-cond (poor) et ground-clear (low).

La génération d'un nouvel eid s'effectue par concaténation de l'eid précédent avec un

entier représentant une nouvelle évolution générée, séparée par le caractère '#'. Chaque élément de données fourni par l'environnement externe est supposé avoir le eid défini la chaîne vide  $\epsilon$ .

**Étape 0** : initialement tous les processus attendent une entrée. L'environnement externe effectue l'action suivante :  $Env \rightarrow \Pi_3 < w, \epsilon >, Env \rightarrow \Pi_7 < b, \epsilon >, Env \rightarrow \Pi_{10} < b, \epsilon >$

. **Étape 1** :  $\Pi_3 \rightarrow \Pi_1 < w, >, \Pi_{10} \rightarrow \Pi_8 < b, >, \Pi_7 \rightarrow \Pi_{(2)} < b, \epsilon >$ .

$\Pi_2 \rightsquigarrow \Pi_1, \Pi_8 \rightsquigarrow \Pi_2, \Pi_2 \rightsquigarrow \Pi, \Pi_1 \rightsquigarrow^{C_1} AP, \Pi_1 \rightsquigarrow^{C_2} AP, \Pi_4 \rightsquigarrow^{C_3} AP, \Pi_4 \rightsquigarrow^{C_4} AP$

**Étape 2** :  $\Pi_8 \rightarrow \Pi_2 < b, \epsilon >$ .  $\Pi_2$  effectue  $merge^*(< b, \epsilon >, < b, \epsilon >)$ , produire le message  $< b, \epsilon >$ ;

$\Pi_2 \rightsquigarrow \Pi_1, \Pi_2 \rightsquigarrow \Pi_4, \Pi_1 \rightsquigarrow^{C_1} AP, \Pi_1 \rightsquigarrow^{C_2} AP, \Pi_4 \rightsquigarrow^{C_3} AP, \Pi_4 \rightsquigarrow^{C_4} AP$

**Étape 3** :  $\Pi_2$  produire trois messages correspondant à différentes affectations puisque la place de sortie de sa transition de fin (t6) contient  $< b, \epsilon >$ .

$\Pi_2 \rightarrow \Pi_1 : \{ < b, \#1 >, < b, \#2 >, < w, \#3 > \}$

$\Pi_2 \rightarrow \Pi_4 : \{ < b, 1 >, < w, 2 >, < b, 3 > \}$

$\Pi_2 \rightsquigarrow \Pi_1, \Pi_2 \rightsquigarrow \Pi_4, \Pi_1 \rightsquigarrow^{C_1} AP, \Pi_1 \rightsquigarrow^{C_2} AP, \Pi_4 \rightsquigarrow^{C_3} AP, \Pi_4 \rightsquigarrow^{C_4} AP$

**Étape 4** :  $\Pi_1$  effectue l'opération de fusion suivante :

$merge^*(< w, \epsilon >, < b, \#1 >) = < i, \#1 >$

$merge^*(< b, \epsilon >, < w, \#2 >) = < i, \#2 >$

$merge^*(< w, \epsilon >, < w, \#3 >) = < w, \#3 >$

$\Pi_1 \rightsquigarrow^{C_1} AP \{ < i, \#1 >, < i, \#2 >, < w, \#3 > \}$

$\Pi_1 \rightsquigarrow^{C_1} AP \{ < i, \#1 >, < i, \#2 >, < w, \#3 > \}$

$\Pi_4 \rightsquigarrow^{C_3} AP \{ < w, \#1 >, < b, \#2 >, < b, \#3 > \}$

$\Pi_4 \rightsquigarrow^{C_4} AP \{ < w, \#1 >, < b, \#2 >, < b, \#3 > \}$

**Étape 5** : AP rejette de toutes les sources les éléments de données liés aux évolutions #1 et #2 car il existe des éléments de données du type  $< i, \#1 >$  and  $< i, \#2 >$ .

Les resultants final sont :

$< pist-state-ring(worn)[w], pist-state(worn)[w], road-cond(poor)[b], ground-clear(low)[b] >$ .

## 2.5 Conclusion

Dans ce chapitre, nous avons présenté les concepts de base des BPNs, ensuite l'approche adoptée pour la résolution d'un problème de diagnostic en parallèle. Le dernier chapitre sera consacré à décrire les étapes de développement d'un outil de dérivation de processus parallèle.



**Deuxième partie**  
**IMPLEMENTATION**



## **Chapitre 3**

### **Développement d'un outil de dérivation de processus parallèle**

# Chapitre 3

## Développement d'un outil de dérivation de processus parallèle pour l'exploitation d'analyse B-W

### Introduction

On a présenté dans le chapitre précédent une technique d'analyse basée sur les BPNs pour la résolution de problème de diagnostic. Pour exploiter cette technique on développe un outil basé sur les principes de la technique.

Le développement de l'outil suit le cycle de vie d'un logiciel.

### 3.1 Analyse de besoins

L'analyse de besoins est la première phase dans le cycle de vie d'un logiciel. Elle consiste à définir les besoins d'utilisateur et les contraintes. On s'intéresse au partitionnement du modèle BPN qui représente le comportement anormal du système et à l'application de l'analyse B-W par la dérivation de processus parallèles. Les fonctionnalités qui doivent être fournies par cette application peuvent être résumées comme suit :

- La représentation graphique du comportement anormal du système par un BPN.
- Le partitionnement des transitions.
- La dérivation d'ensemble de processus qui effectués l'analyse B-W pour obtenir les diagnostics (marquages initiaux) correspondant aux causes initiales du problème.

les contraintes

- le comportement du système doit être fini (sans cycle, sans objet isolé, il n'y a pas de transitions sources ou puits)

### 3.2 Conception globale

La conception globale montre d'une façon abstraite l'ensemble des modules et les relations entre eux.

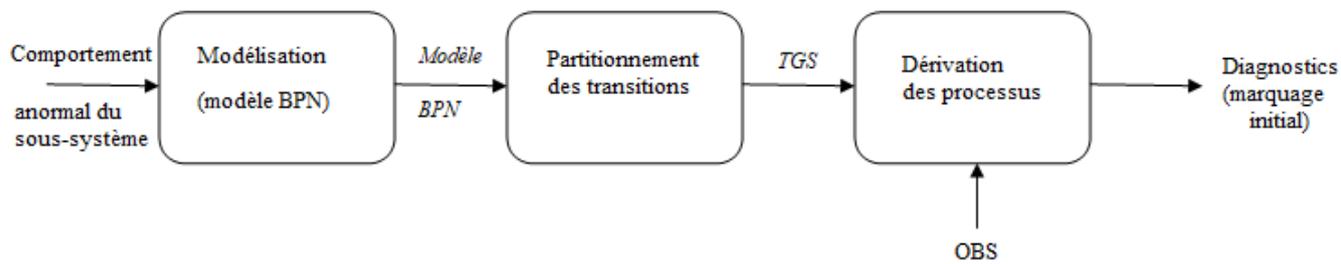


FIGURE 3.1 – Architecture générale d’interaction entre les modules du système.

### 3.2.1 Module de modélisation

La fonction principale de ce module est l’édition d’un modèle BPN qui représente le comportement anormal du système

### 3.2.2 Module de partitionnement des transitions

Ce module s’occupe de la partition du modèle BPN en sous-modèles BPNs. Il reçoit comme entrée le BPN initial et fournit comme sortie un ensemble de sous-réseaux générés par transitions (TGS).

### 3.2.3 Module de dérivation de processus

La principale tâche de ce module est la dérivation de processus associés à chaque TGS et appliquer les règles de franchissement en arrière sur chaque sous modèle.

## 3.3 Conception détaillée

La conception détaillée consiste à fournir pour chaque composant ses algorithmes et structure de données.

### 3.3.1 Structure de données

On va décrire les structures de données qui sont utilisées par tous les composants de notre outil.

#### 3.3.1.1 Modélisation

Ce module fournit aux utilisateurs une interface graphique pour l’édition d’un modèle BPN.

### Classe BPN

- name : chaîne de caractères désignant le nom de BPN
- Places : liste d'objets contenant tous les places de notre modèle BPN.
- OrTransition : liste d'objets contenant les transitions de type OR.
- AndTransition : liste d'objets contenant les transitions de type AND.
- Arcs : liste d'objets contenant les arcs.

### Classe Place

- id : chaîne de caractères désignant l'identificateur de place.
- marq : chaîne de caractères indique le marquage de la place.
- inArc : liste d'objets contenant les arcs entrant.
- outArc : liste d'objets contenant les arcs sortant.
- inTransition : liste d'objets contenant les transitions entrant.
- outTransition : liste d'objets contenant les transitions sortant.
- posX,posY : nombres entiers représentant les coordonnées graphiques.

### Classe orTransition

- id : chaîne de caractères désignant l'identificateur de transition.
- inArc : liste d'objets contenant les arcs entrant.
- outArc : liste d'objets contenant les arcs sortant.
- inPlace : liste d'objets contenant les places entrante.
- outArc : liste d'objets contenant les places sortante.
- posX,posY : nombres entiers représentant les coordonnées graphiques.

### Classe andTransition

- id : chaîne de caractères désignant l'identificateur de transition.
- inArc : liste d'objets contenant les arcs entrant.
- outArc : liste d'objets contenant les arcs sortant.
- inPlace : liste d'objets contenant les places entrante.
- outArc : liste d'objets contenant les places sortante.
- posX,posY : nombres entiers représentant les coordonnées graphiques.

### Classe arc

- id : chaîne de caractères désignant l'identificateur d'arc.
- source : liste d'objet contienne la source d'arc,cette source peut être une place ou transition.
- target : liste d'objet contienne la destination d'arc,cette destination peut être une place ou transition.
- posX1,posY1,posX2,posY2 : nombres entier représentent les coordonnées graphique

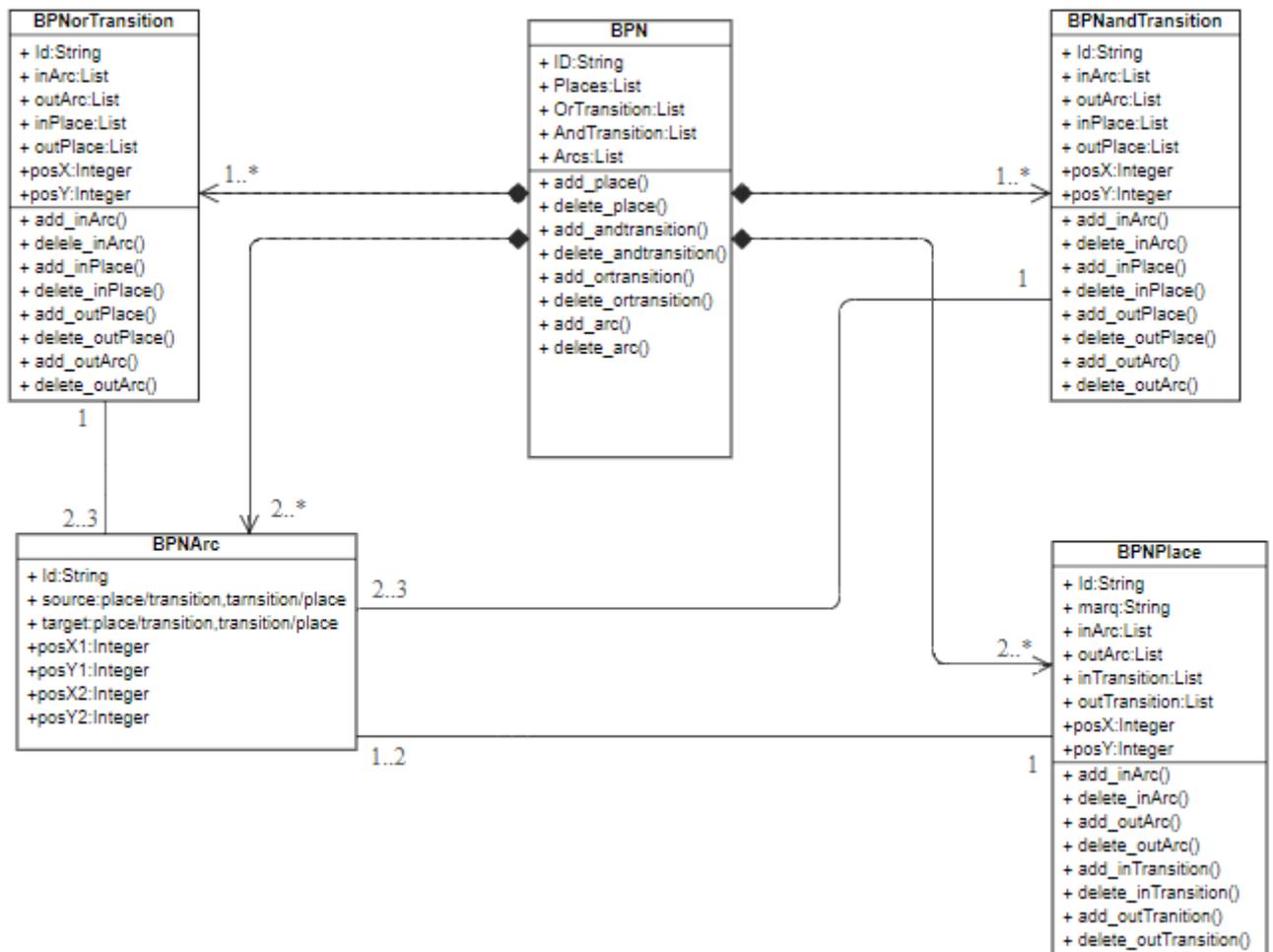


FIGURE 3.2 – Diagramme de classe.

### Fichier d'enregistrement

Afin d'arriver aux résultats attendus, on a besoin de sauvgarder le modèle BPN saisie par l'utilisateur dans un fichier d'enregistrement, ce fichier doit contenir toutes les informations du modèle .

Dans notre travail on a utilisé les fichiers XML

```

1  <?xml version="1.0" ?>
2  <BPN>
3    <place>
4      <id name="pist_ring_state(worn)"/>
5      <marq name="e"/>
6      <outArcs name="a1"/>
7      <outtransition name="t1"/>
8    </place>
9    <place>
10     <id name="pist_state(worn)"/>
11     <marq name="e"/>
12     <outArcs name="a2"/>
13     <outtransition name="t1"/>
14   </place>
15   <place>
16     <id name="oil_cons(incr)"/>
17     <marq name="e"/>
18     <inArcs name="a3"/>
19     <intransition name="t1"/>
20     <outtransition name="t2"/>
21   </place>
22   <place>
23     <id name="A"/>
24     <marq name="e"/>
25     <inArcs name="a5"/>
26     <outArcs name="a7"/>
27     <intransition name="t2"/>

```

FIGURE 3.3 – Extrait d'un fichier XML.

### 3.3.1.2 Partitionnement des transitions

- bn-relation : liste contient tous les transitions qui ont une relation binaire entre eux.
- starting-transition : liste contient tous les transitions de départ du modèle.
- transition-subset : liste contient sous-ensemble des transitions générés par une transition de départ.
- TGS : liste contient les champs suivants :
  - bpn : objet de type BPN.
  - S : objet contient la transition de départ de ce bpn.
  - E : objet contient la transition de fin de ce bpn.

### 3.3.1.3 Dérivation de processus

- process : liste de processus associé à chaque TGS.
- OBS : liste constitué par les champs suivants :
  - id : chaîne de caractère, c'est l'identificateur de place observer.
  - marq : le marquage de cette place.
- Place-vide : liste des places vides sortants des transitions forcées.
- transition-franchissable : liste des transitions franchissables.
- input-var : liste constitué par les champs suivants :
  - id : chaîne de caractère, c'est l'identificateur de place.
  - var : liste qui contient les champs suivants :
    - c : caractère indique le marquage de place {b,w}.
    - v : nombre entier représente l'identificateur d'évolution.
- Nets : liste des BPNs qui sont outplaces de transition de départ sont marquées.

### 3.3.2 Algorithmes

#### 3.3.2.1 Module de modélisation

##### Supprimer une place au modèle BPN

Pendant l'édition du modèle BPN, un ensemble d'opération sont mis en service pour l'utilisateur, parmi ces opération la possibilité du supprimer une place .

---

##### Algorithm 1 Algorithme de suppression d'une place

---

```
function DELETE_PLACE()
  canvas.delete(p.objet)
  canvas.delete(p.idtext)
  canvas.delete(p.martext)
  bpn.delete_place(p)
end
```

---

#### 3.3.2.2 Module de Partitionnement des transitions

##### Transitions de départ de modèle BPN

Une transition de départ a soit plusieurs places de sortie, soit exactement une seule place de sortie.

---

##### Algorithm 2 Algorithme transitions de départ

---

```
function STARTING_TRANSITION(BPN)
  for t in transition do
    if len(t.outplace)>1 then
      starting_transition.append(t)
    if (len(t.outplace)==1 and len(t.outplace.outTransition)==0 ) then
      starting_transition.append(t)
    end
  end
```

---

##### Relation binaire

le but de cette algorithme est remplir la liste bn-relation

---

##### Algorithm 3 Algorithme relation binaire

---

```
function RELATION_BINAIRE(BPN)
  for t in transition do
    if (len(t.outplace)==1 and len(t.outplace.outTransition)==1) then
      tj=t.outplace.outTransition
      if len(tj.inplace)==1 then
        bn_relation.append([t,tj])
      end
    end
```

---

### Sous-ensembles de transition

A partir d'une transition de départ on peut remplir la liste transition-subset

---

#### Algorithm 4 Algorithme sous-ensembles de transition

---

```

function SOUS-ENSEMBLE-DE-TRANSITION(BPN)
  for t in starting_transition do
    T= []
    T.append(t)
    transition_subset.append(T)
    for i in rang(len(bn_relation)) do
      if t == bn_relation[i][0] or t == bn_relation[i][1] then
        T.remove(t)
        transition_subset.remove(T)
        for a in rang(len(bn_relation[i])) do
          T.append(bn_relation[i][a])
        transition_subset.append(T)
  end

```

---

### 3.3.2.3 Module de derivation de processus

#### Etat de simplification

Après l'état de simplification, aucun processus n'attendra un message qui ne peut pas être envoyé

---

#### Algorithm 5 Algorithme d'état de simplification

---

```

function SIMPLIFICATION(BP)
  for bpn in TGS do
    t=bpn[1][0]
    # t c'est une transition de départ
    for p in t.outplace do
      if p.marq=="e" and len(p.outtra)== 0 then
        t.outplace.remove(p)
    if len(t.outplace)==0 then
      TGS.remove(bpn)
  end

```

---

### Observations

le but de cette algorithme est remplir la liste d'observation

---

#### Algorithm 6 Algorithme OBS

---

```

function GET_OBS(BPN)
  for p in bpn.Places do
    if (p.marq! ="e" and len(p.outtra) == 0) then
      OBS.append([p.id,p.marq])
  /* envoyer les observations à la liste input_var
  end

```

---



## Règles de franchissement

L'objectif de cette algorithme est marquée les places entrantes du transition

---

### Algorithm 7 Algorithme Règles de franchissement

---

```

for t in transition' franchissable do
  if t.class.name == 'BPNandTransition' then
    if len(t.outplace) == 1 then
      if t.outplace.marq=="b" then
        /*marquer tous les places entrantes par un jeton noir en la liste input_var
      if t.outplace.marq=="w" then
        /*marquer tous les places entrantes par l'alternative choix en la liste input_var
        /* p1.marq="w" et p1.marq="w"
        /* p1.marq="w" et p1.marq="b"
        /* p1.marq="b" et p1.marq="w"
    if len(t.outplace) > 1 then
      for p in t.outplace do
        if p in place.vide then
          /*marquer la place par un jeton de meme type du autre place
        if p1.marq ==p2.marq then
          /*marquer la place entranter par le meme type de jeton
        if p1.marq <>p2.marq then
          /*marquer la place entranter par "i"
          /*"i" signifié l'inconsistance
    if t.class.name == 'BPNorTransition' then
      if t.outplace.marq=="w" then
        /*marquer tous les places entrantes par un jeton blanc en la liste input_var
      if t.outplace.marq=="b" then
        /*marquer tous les places entrantes par l'alternative choix en la liste input_var
        /* p1.marq="b" et p1.marq="b"
        /* p1.marq="b" et p1.marq="w"
        /* p1.marq="w" et p1.marq="b"

end

```

---

## dérivation de processus

---

### Algorithm 8 Algorithme dérivation de processus

---

```

function DERIV_PROCESS(BPN)
  with Manager()as manager :
    input-var=manager.list(input-var)
    for net in Nets do
      process=Process(target=firing_rule,args=(net,input-var))
      processes.append(process)
      process.start()
end

```

---

## 3.4 Implémentation

### 3.4.1 Outils et langage de développement

Dans cette section, nous présentons différents outils et langages, qui nous aident lors de la réalisation de notre projet (niveau de programmation et niveau théorique)

### 3.4.1.1 Langage de programmation python



Python est un langage de programmation intelligent que nous avons utilisé dans la mise en œuvre de notre application. Il est facile à apprendre, car il est flexible et sa syntaxe n'est pas difficile à apprendre. Un programme Python est court que les programmes d'autres langages, en raison de la disponibilité de nombreuses fonctions implémentées. Python est un langage de programmation open source. Il est disponible pour tous les systèmes d'exploitation (Windows, LINUX, Mac OS).

### 3.4.1.2 Editeur de programmation Pycharm



PyCharm est un environnement de développement intégré (IDE) open source, utilisé pour la programmation python. C'est un assistant de codage puissant, il peut mettre en évidence les erreurs et introduit des correctifs rapides basés sur un débogueur Python intégré. C'est un éditeur approprié pour écrire et tester de nombreuses lignes de code et de classes, car il offre une vue structurelle du projet et une navigation rapide dans les fichiers.

### 3.4.1.3 Package "Tkinter"



Tkinter [] est un package open source d'interface utilisateur graphique (GUI). Il est destiné au langage de programmation Python. Nous avons préféré l'outil *Tkinter* pour développer l'interface graphique de notre application, car elle est simple à apprendre, Il est disponible sur les deux systèmes d'exploitation (Windows, Linux et Mac OS).

### 3.4.1.4 Package "multiprocessing"



Multiprocessing [] est un package qui prend en charge les processus de génération en utilisant une API similaire au module de threading. Le package multitraitement offre à la fois la concurrence locale et distante, contournant efficacement le verrou d'interpréteur global en utilisant des sous-processus au lieu de threads. Pour cette raison, le module multiprocasseur permet au programmeur d'exploiter pleinement plusieurs processeurs sur une machine donnée. Il fonctionne à la fois sous Unix et Windows.

### 3.4.1.5 Système de préparation de documents L<sup>A</sup>T<sub>E</sub>X



L<sup>A</sup>T<sub>E</sub>X est un système de composition puissant et flexible pour la production d'articles techniques et scientifiques de haute qualité. Il est basé sur la langue des balises. Il suit la philosophie de conception de séparer la présentation du contenu, ainsi les auteurs se concentrent sur ce qu'ils écrivent, pas sur ce qui est affiché, car l'apparence est gérée par L<sup>A</sup>T<sub>E</sub>X. L'apparence comprend de nombreux aspects, la structure du document (partie, chapitre, section, ..etc), des figures, des renvois et des bibliographies. Il est plus familier à un programmeur informatique, car il suit le cycle code-compilation-exécution.

### 3.4.1.6 Editeur T<sub>E</sub>X MAKER



T<sub>E</sub>X est un éditeur gratuit et open source pour la rédaction de documents, basé sur le système L<sup>A</sup>T<sub>E</sub>X. Il prend en charge un correcteur orthographique puissant, la saisie semi-automatique du code et un afficheur *pdf*. Nous avons utilisé T<sub>E</sub>X MAKER pour rédiger notre rapport et faire notre présentation, car il produit des articles et des exposés de haute qualité.

## 3.4.2 Implémentation

les algorithmes sont implémentés en utilisant la programmation objet orientée (POO) et un ensemble de logiciels et de matériel qui sont résumés dans le tableau suivant

Software/Hardware	Version
OS	Microsoft Windows 10 , 64bits
CPU	Intel(R) Core(TM) i3-4005U CPU @1.70GHz 1.70GHz
RAM	4.00Go
Python Interpreter	3.7.2
PyCharm	2018.3.7
Tkinter	8.6

TABLE 3.1 – versions Software/Hardware

### 3.4.2.1 Application d'accueil



FIGURE 3.4 – Application d'accueil.

Dans notre implémentation, nous avons développé des interfaces utilisateurs graphiques (GUI) pour la facilité d'utilisation de l'application. L'application contient une barre de menus avec trois menus (File ,Edit et Aide). La figure 3.5 illustre le menu et ses commandes.



FIGURE 3.5 – Menue fichier.

Description :

File :menue de fichier contient :

New\_BPN : créer un nouveau BPN.

Save : sauvgarder le modèl BPN avec l'extension .xml.

Import : importer un modèl BPN.

Barre d'outils :

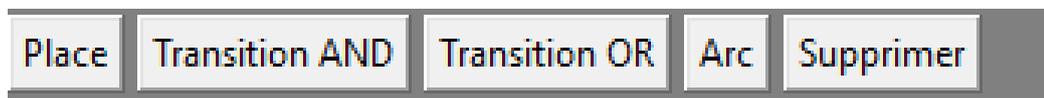


FIGURE 3.6 – Barre d'outils.

En barre d'outil, nous avons le bouton Place pour dessiner une place et le bouton Transition AND c'est pour dessiner transition de type AND,le bouton Transition OR c'est pour dessiner transition de type OR,et le bouton Arc pour dessiner un arc et le bouton Supprimer utiliser pour supprimer tous les objets existents dans la zone de modélisation.

Dessiner place Après le dessin de place et transitions, on peut changer id de chaque objet et entrer le marquage de place ou supprimer l'objet avec une click droite.

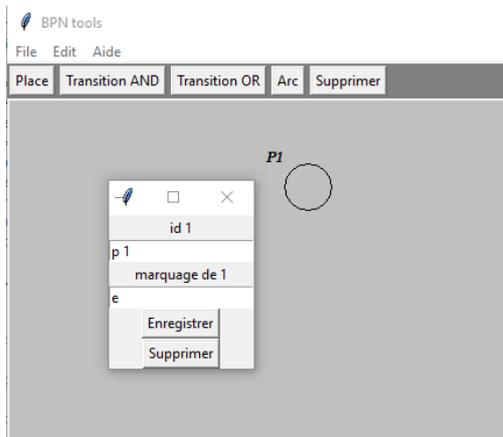


FIGURE 3.7 – Ajouter marquage.

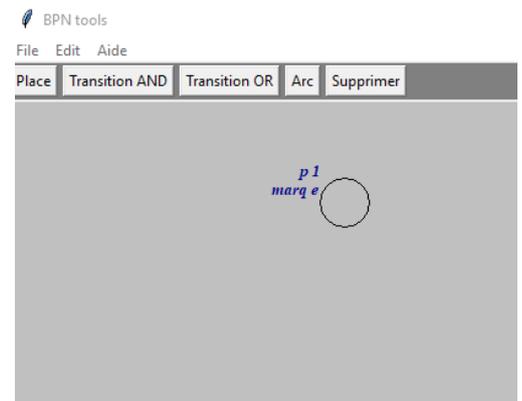


FIGURE 3.8 – Objet place

### Exemple d'un modèle BPN

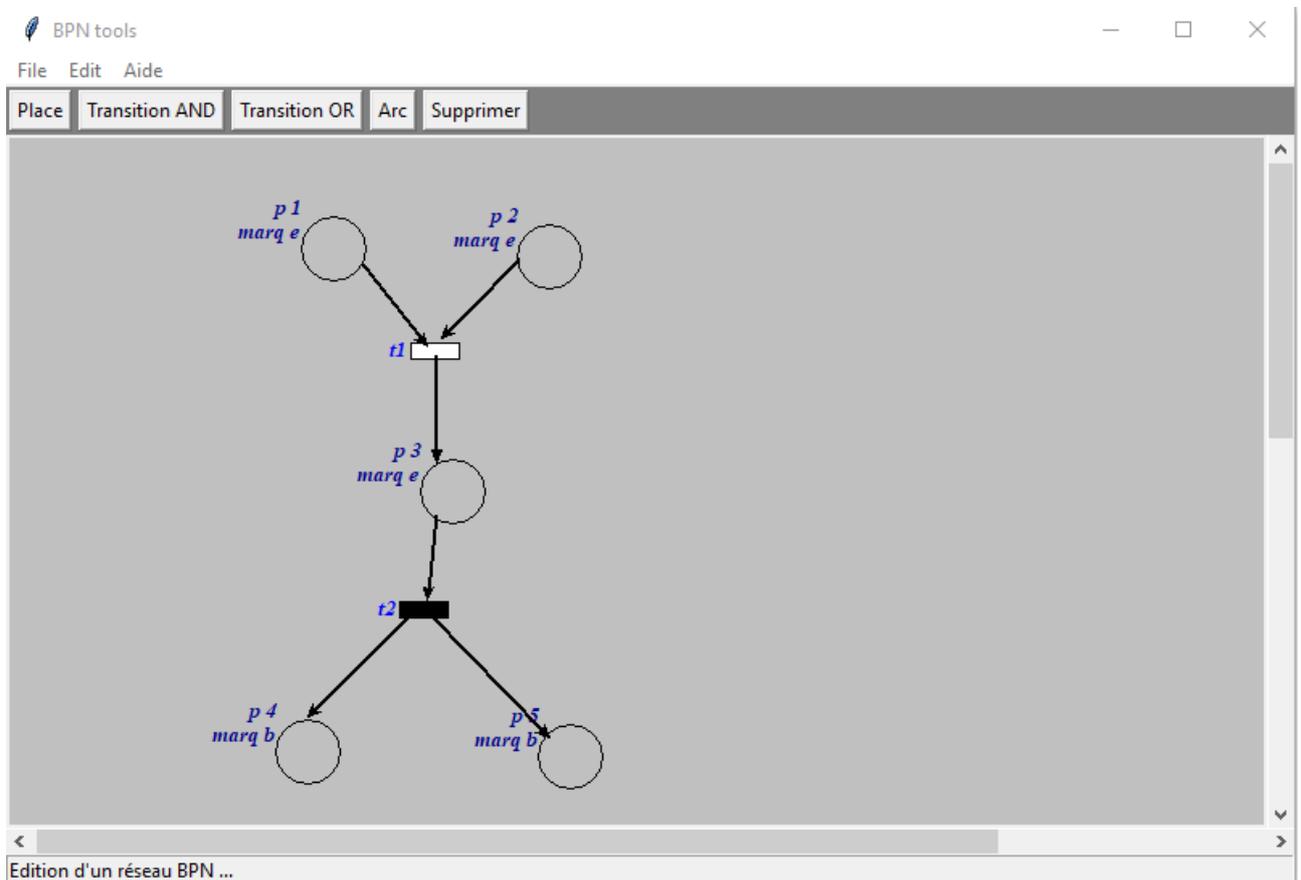


FIGURE 3.9 – Exemple d'un modèle BPN

Si nous appliquons les algorithmes précédentes sur l'exemple illustré dans la figure 2.2 (BPN représente le comportement anormal d'un moteur d'une voiture) On a la résultat suivante

Résultat d'algorithme transition de départ

```

starting transition ['t20', 't2', 't5', 't9', 't10', 't8', 't17', 't18', 't19']

Process finished with exit code 0
    
```

FIGURE 3.10 – Résultat d’algorithme transition de départ

### Résultat d’algorithme relation binaire

```

*****
binary relation [['t1', 't2'], ['t6', 't9'], ['t11', 't10'], ['t12', 't18'], ['t21', 't22']]

Process finished with exit code 0
    
```

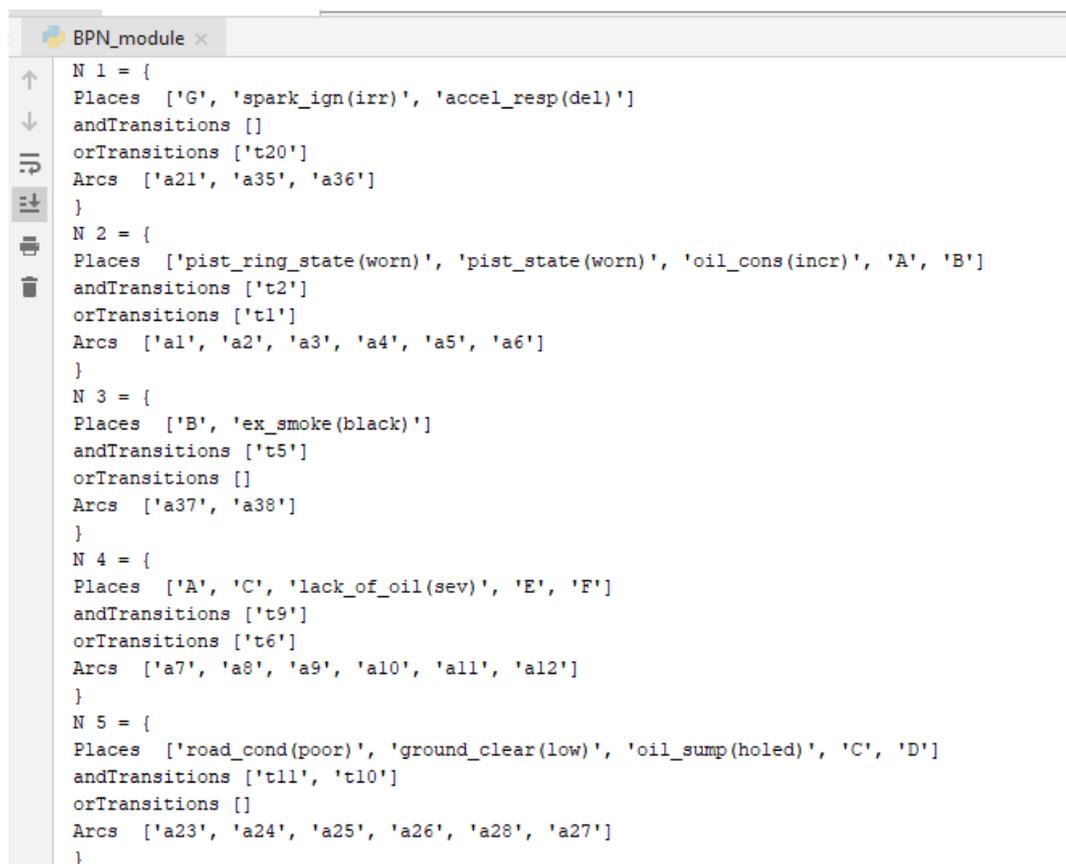
FIGURE 3.11 – Résultat d’algorithme relation binaire

### Sous-ensemble générés par transition

```

BPN_module x
↑
↓
⌵
⌶
⌷
N 1 = {
  Places ['G', 'spark_ign(irr)', 'accel_resp(del)']
  andTransitions []
  orTransitions ['t20']
  Arcs ['a21', 'a35', 'a36']
}
N 2 = {
  Places ['pist_ring_state(worn)', 'pist_state(worn)', 'oil_cons(incr)', 'A', 'B']
  andTransitions ['t2']
  orTransitions ['t1']
  Arcs ['a1', 'a2', 'a3', 'a4', 'a5', 'a6']
}
N 3 = {
  Places ['B', 'ex_smoke(black)']
  andTransitions ['t5']
  orTransitions []
  Arcs ['a37', 'a38']
}
N 4 = {
  Places ['A', 'C', 'lack_of_oil(sev)', 'E', 'F']
  andTransitions ['t9']
  orTransitions ['t6']
  Arcs ['a7', 'a8', 'a9', 'a10', 'a11', 'a12']
}
N 5 = {
  Places ['road_cond(poor)', 'ground_clear(low)', 'oil_sump(holed)', 'C', 'D']
  andTransitions ['t11', 't10']
  orTransitions []
  Arcs ['a23', 'a24', 'a25', 'a26', 'a28', 'a27']
}
    
```

FIGURE 3.12 – Sous-ensemble générés par transition 1



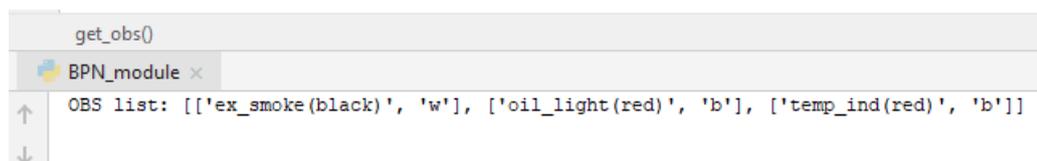
```

BPN_module x
↑
↓
N 1 = {
Places ['G', 'spark_ign(irr)', 'accel_resp(del)']
andTransitions []
orTransitions ['t20']
Arcs ['a21', 'a35', 'a36']
}
N 2 = {
Places ['pist_ring_state(worn)', 'pist_state(worn)', 'oil_cons(incr)', 'A', 'B']
andTransitions ['t2']
orTransitions ['t1']
Arcs ['a1', 'a2', 'a3', 'a4', 'a5', 'a6']
}
N 3 = {
Places ['B', 'ex_smoke(black)']
andTransitions ['t5']
orTransitions []
Arcs ['a37', 'a38']
}
N 4 = {
Places ['A', 'C', 'lack_of_oil(sev)', 'E', 'F']
andTransitions ['t9']
orTransitions ['t6']
Arcs ['a7', 'a8', 'a9', 'a10', 'a11', 'a12']
}
N 5 = {
Places ['road_cond(poor)', 'ground_clear(low)', 'oil_sump(holed)', 'C', 'D']
andTransitions ['t11', 't10']
orTransitions []
Arcs ['a23', 'a24', 'a25', 'a26', 'a28', 'a27']
}

```

FIGURE 3.13 – Sous-ensemble générés par transition 2

### Résultat d'algorithme observation



```

get_obs()
BPN_module x
↑
↓
OBS list: [['ex_smoke(black)', 'w'], ['oil_light(red)', 'b'], ['temp_ind(red)', 'b']]

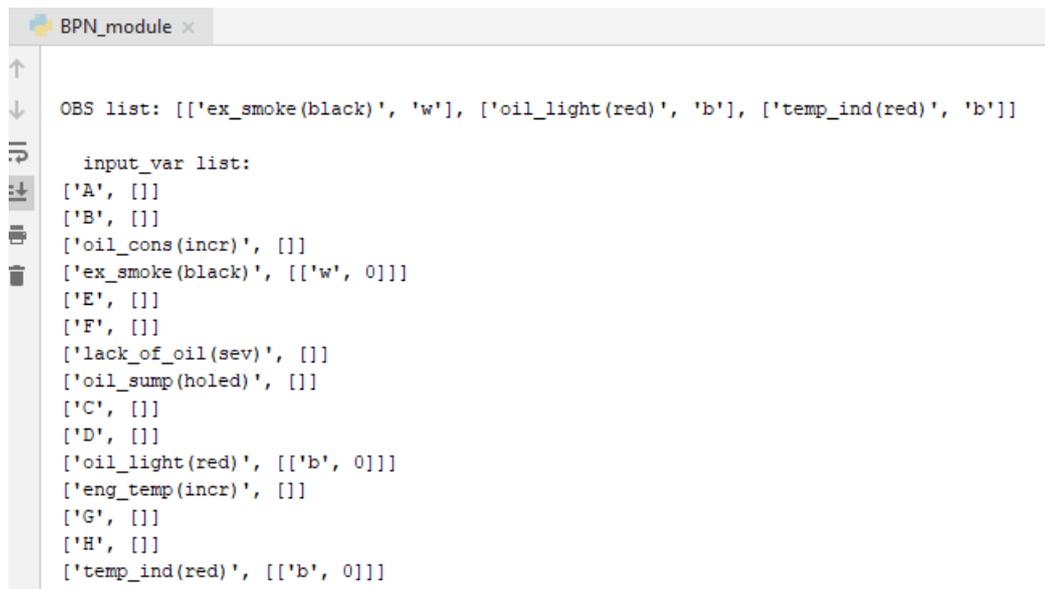
```

FIGURE 3.14 – Résultat d'algorithme observation

### Contenu de la liste input-var

cette liste contient l'identificateur de place d'entrée et l'élément de donnée de type  $\langle c, v \rangle$  de chaque transition.

Lorsque nous recevons l'observation, le contenu de la liste input-var est le suivant :



```

BPN_module x
OBS list: [['ex_smoke(black)', 'w'], ['oil_light(red)', 'b'], ['temp_ind(red)', 'b']]

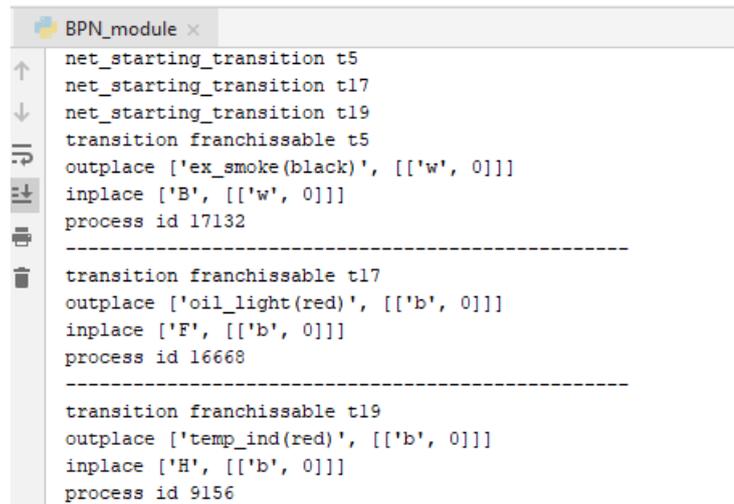
input_var list:
['A', []]
['B', []]
['oil_cons(incr)', []]
['ex_smoke(black)', [['w', 0]]]
['E', []]
['F', []]
['lack_of_oil(sev)', []]
['oil_sump(holed)', []]
['C', []]
['D', []]
['oil_light(red)', [['b', 0]]]
['eng_temp(incr)', []]
['G', []]
['H', []]
['temp_ind(red)', [['b', 0]]]

```

FIGURE 3.15 – La liste input-var

### Dérivation de processus

Premièrement, nous devons identifier les sous-réseaux qui sont transition de départ franchissable. Ensuite, on applique les règles de franchissement. Les premiers processus qui exécutent en parallèle



```

BPN_module x
net_starting_transition t5
net_starting_transition t17
net_starting_transition t19
transition franchissable t5
outplace ['ex_smoke(black)', [['w', 0]]]
inplace ['B', [['w', 0]]]
process id 17132
-----
transition franchissable t17
outplace ['oil_light(red)', [['b', 0]]]
inplace ['F', [['b', 0]]]
process id 16668
-----
transition franchissable t19
outplace ['temp_ind(red)', [['b', 0]]]
inplace ['H', [['b', 0]]]
process id 9156

```

FIGURE 3.16 – Exécution de processus

## Conclusion

Durant ce chapitre, nous avons essayé de décrire la démarche que nous avons suivie pour implémenter la technique.

Nous avons présenté les fonctionnalités rendues aux utilisateurs dans l'analyse des besoins, suivie par la conception globale qui présente les composants constituant notre outil. Finalement, nous avons présenté les structures des données et les algorithmes utilisés par chaque composant ainsi que les outils et le langage de programmation puis les résultats.





# **Conclusion générale**

# Conclusion générale

Tout système peut tomber en panne. Pour rétablir son comportement normal, il est nécessaire de localiser la vraie cause de la défaillance observée (diagnostic).

Le diagnostic basé-modèle nécessite de décrire le comportement du système à diagnostiquer sous forme d'un modèle. Plusieurs outils de représentation d'un tel modèle ont été proposés et dans ce travail on a utilisé les BPNs comme outil de représentation et de raisonnement. , En fait, l'analyse en arrière de marquages accessibles (Analyse BW) est exploitée pour réaliser le processus de résolution d'un problème de diagnostic à base de modèles BPNs. Ceci est accompli via l'application d'un ensemble de règles de franchissement en arrière.

Le souci de ce travail était l'implémentation parallèle de la technique d'analyse B-W par la dérivation d'un ensemble de processus en se basant sur la structure du modèle BPN donné. Les processus dérivés sont formés de processus indépendants et des processus coopératifs. Tandis que ceux indépendants peuvent être lancés en parallèle, les processus coopératifs nécessitent une certaine synchronisation via les places communes entre les sous-ensembles générés par transition (point de synchronisation).

On a montré dans ce mémoire les différentes étapes de développement d'un outil de dérivation de processus pour une implémentation parallèle de l'analyse BW.

# Bibliographie

- [Rei87] Raymond REITER. "A theory of diagnosis from first principles". In : *Artificial intelligence* 32.1 (1987), p. 57-95.
- [Poo89] David POOLE. "Normality and Faults in Logic-Based Diagnosis." In : *IJCAI*. T. 89. Citeseer. 1989, p. 1304-1310.
- [CT90] Luca CONSOLE et Pietro TORASSO. "Hypothetical reasoning in causal models". In : *International Journal of Intelligent Systems* 5.1 (1990), p. 83-124.
- [CT91] Luca CONSOLE et Pietro TORASSO. "A spectrum of logical definitions of model-based diagnosis 1". In : *Computational intelligence* 7.3 (1991), p. 133-141.
- [Ham91] Walter C HAMSCHER. "Modeling digital circuits for troubleshooting". In : *Artificial Intelligence* 51.1-3 (1991), p. 223-271.
- [DMR92] Johan DE KLEER, Alan K MACKWORTH et Raymond REITER. "Characterizing diagnoses and systems". In : *Artificial intelligence* 56.2-3 (1992), p. 197-222.
- [Moz92] Igor MOZETIČ. "Model-based diagnosis: an overview". In : *Advanced Topics in Artificial Intelligence*. Springer, 1992, p. 419-430.
- [Por93] Luigi PORTINALE. "Petri net models for diagnostic knowledge representation and reasoning". In : *PhD Tesis, Dipartimento di Informatica–Università di Torino* (1993).
- [VK94] Robert VALETTE et Luis Allan KÜNZLE. "Réseaux de Petri pour la détection et le diagnostic". In : (1994).
- [SLA04] BEKHOUCHE HAMIDA SLATNIA SIHAM. "diagnostic basé-mod'le par analyse B-W dans les BPNs". Thèse de doct. UNIVERSITE DE MOHAMED KHIDER BISKRA, 2004.
- [Bla+06] Mogens BLANKE et al. *Diagnosis and fault-tolerant control*. T. 2. Springer, 2006.
- [Ham12] Bennoui HAMMADI. "Distributed Causal Model-based Diagnosis: An Approach by Interacting Petri Nets". Thèse de doct. UNIVERSITE DE MOHAMED KHIDER BISKRA, 2012.
- [] *Latex*. <https://www.latex-project.org/>. Accessed: 2020-08-28.
- [] *multiprocessing*. <https://docs.python.org/3/library/multiprocessing.html>. Accessed: 2020-08-28.
- [] *tkinter*. <https://docs.python.org/3/library/tkinter.html>. Accessed: 2020-08-28.